

Protected by PDF Anti-Copy Free

(Upgrade to Pro Version to Remove the Watermark)

***MEAN ABSOLUTE DIFFERENCE (MAD) SEBAGAI METODE
PEMILIHAN FITUR UNTUK DETEKSI SERANGAN PADA
JARINGAN INTERNET OF MEDICAL THINGS
MENGUNAKAN ALGORITMA RANDOM FOREST DAN
GRADIENT BOOSTING***



SKRIPSI

Diajukan Sebagai Syarat Untuk Menyelesaikan Pendidikan

Program Sarjana (S-1)

Pada Program Studi Rekayasa Sistem Komputer

Oleh :

MERYANDI ANDIKA PUTRA

NIM : 2102010030

PROGRAM STUDI REKAYASA SISTEM KOMPUTER

FAKULTAS ILMU TEKNIK

UNIVERSITAS BINA INSAN

2024/2025

Protected by PDF Anti-Copy Free

(Upgrade to Pro Version to Remove the Watermark)
HALAMAN PENGESAHAN SKRIPSI



***MEAN ABSOLUTE DIFFERENCE (MAD) SEBAGAI METODE
PEMILIHAN FITUR UNTUK DETEKSI SERANGAN PADA
JARINGAN INTERNET OF MEDICAL THINGS
MENGUNAKAN ALGORITMA RANDOM FOREST DAN
GRADIENT BOOSTING***

**Oleh :
MERYANDI ANDIKA PUTRA
NIM : 2102010030**

Lubuklinggau, 24 Januari 2025

Pembimbing I

Pembimbing II

(Dr. M. Agus Syamsul Arifin, S.St., M.Kom)

(Bunga Intan, M.Kom)

**Mengetahui,
Dekan Fakultas Ilmu Teknik
Universitas Bina Insan**

(Dr. Rudi Kurniawan, ST., M.Kom)

Protected by PDF Anti-Copy Free

(Upgrade to Pro Version to Remove the Watermark)

HALAMAN PERSETUJUAN TIM PENGUJI SKRIPSI



Pada hari Jum'at tanggal 24 bulan Januari tahun 2025 telah dilaksanakan sidang Skripsi oleh Program Studi Rekayasa Sistem Komputer Universitas Bina Insan.

Nama : Meryandi Andika Putra
NIM : 2102.01.0030
Judul Skripsi : *Mean Absolute Difference (MAD)* sebagai metode pemilihan fitur untuk deteksi serangan pada jaringan *Internet of Medical Things* menggunakan algoritma *Random Forest* dan *Gradient Boosting*

Komisi Penguji

1. Ketua : Dr. M. Agus Syamsul Arifin, S.St., M.Kom ()
2. Sekretaris : Bunga Intan, M.Kom ()
3. Anggota : Novi Lestari, M.Kom ()

Mengetahui,
Kepala Program Studi Rekayasa Sistem Komputer
Universitas Bina Insan


(Armanto, M.Kom)

Protected by PDF Anti-Copy Free

(Upgrade to Pro Version to Remove the Watermark)

HALAMAN MOTTO DAN PERSEMBAHAN

MOTTO

- ❖ KUNCI KESUKSESAN DALAM  WISUDA IYALAH DUIT (DOA, USAHA, IKTIAR DAN TAWAKAL).
- ❖ SETIAP ORANG MEMILIKI PROSES BERBEDA-BEDA DALAM MENGGAPAI KESUKSESAN, SEMAKIN SULIT PROSES YANG KAMU HADAPI SEMAKIN BESAR PULA KESUKSESAN YANG KAMU DAPATI.
- ❖ KAMU BOLEH TERLAHIR DARI KELUARGA YANG KURANG MAMPU, TAPI KAMU TIDAK BOLEH MENERUSKANNYA UNTUK GENERASIMU DIMASA DEPAN, JADIKAN DIRIMU SEBAGAI PEMUTUS TALI KEMISKINAN DALAM KELUARGA MU DAN JADIKAN ORANG TUAMU BANGGA ATAS KESUKSESANMU DIMASA DEPAN.
- ❖ **MATER EST FONS VITAE (IBU ADALAH SUMBER KEHIDUPAN)**

PERSEMBAHAN KEPADA :

- *ALLAH SWT YANG TELAH MEMBERIKAN RAHMAT DAN Hidayahnya*
- *IBU YANG SELALU SUPPORT DAN MENDOAKANKU.*
- *TEMAN-TEMAN YANG SELALU SUPPORT MEMBANTUKU.*
- *TERIMA KASIH CHATGPT TELAH MEMBANTU DALAM PENELITIAN INI*

Protected by PDF Anti-Copy Free

(Upgrade to Pro Version to Remove the Watermark)

HALAMAN PERNYATAAN

Saya yang bertand



dibawah ini :

Nama : Meryandi Andika Putra

Nim : 2102010030

Program Studi : Rekayasa Sistem Komputer

Menyatakan dengan sesungguhnya bahwa penelitian dan penulisan skripsi yang saya susun sebagai persyaratan untuk memperoleh gelar sarjana (S-1) Universitas Bina Insan, merupakan hasil kerja saya sendiri dan tidak menyuruh orang lain yang mengerjakannya. Ada bagian tertentu dalam penulisan skripsi ini yang saya kutip dari hasil karya orang lain dan telah saya tuliskan sumbernya secara jelas sesuai dengan norma, kaidah dan etika dalam penulisan ilmiah.

Jika dikemudian hari ternyata terbukti bahwa penelitian dan tugas akhir ini bukan hasil kerja saya sendiri atau plagiat dalam bagian tertentu, maka saya bersedia dikenakan sanksi sesuai dengan peraturan perundangan yang berlaku.


Lubuklinggau, 24 Januari 2025

Meryandi Andika Putra

Protected by PDF Anti-Copy Free

(Upgrade to Pro Version to Remove the Watermark)

ABSTRACT

The security of the Internet of Medical Things (IoMT) network poses a significant challenge due to the increasing number of cyberattacks. This study aims to improve the accuracy of attack detection using the Mean Absolute Difference (MAD) method for feature selection and the Random Forest and Gradient Boosting algorithms for classification. The data were validated using the 10-fold cross-validation technique. The results show that the Random Forest algorithm with MAD-based feature selection achieved an accuracy of up to 100%, while Gradient Boosting also demonstrated high performance, albeit slightly lower. This study proves the effectiveness of MAD in enhancing the performance of attack detection models. The implication of this research is the development of more efficient and accurate IoMT network security systems in the future.

Kata Kunci: Mean Absolute Difference, Random Forest, Gradient Boosting, Internet of Medical Things, Intrusion Detection System.

Protected by PDF Anti-Copy Free

(Upgrade to Pro Version to Remove the Watermark)

ABSTRAK


Keamanan jaringan *Internet of Things (IoMT)* menjadi tantangan besar akibat tingginya ancaman siber. Penelitian ini bertujuan untuk meningkatkan akurasi deteksi serangan dengan menggunakan metode *Mean Absolute Difference (MAD)* untuk seleksi fitur, serta algoritma *Random Forest* dan *Gradient Boosting* untuk klasifikasi. Data yang digunakan divalidasi menggunakan teknik *10-fold cross-validation*. Hasil penelitian menunjukkan bahwa algoritma *Random Forest* dengan seleksi fitur MAD mencapai akurasi hingga 100%, sementara *Gradient Boosting* juga menunjukkan performa tinggi meskipun sedikit lebih rendah. Penelitian ini membuktikan efektivitas MAD dalam meningkatkan performa model deteksi serangan. Implikasi dari penelitian ini adalah pengembangan sistem keamanan jaringan IoMT yang lebih efisien dan akurat di masa mendatang.

Kata Kunci: *Mean Absolute Difference, Random Forest, Gradient Boosting, Internet of Medical Things, Intrusion Detection System.*

Protected by PDF Anti-Copy Free

(Upgrade to Pro Version to Remove the Watermark)

KATA PENGANTAR

Alhamdulillah puji dan  penulis panjatkan kepada Allah SWT yang telah melimpahkan segala rahmat dan hidayah-Nya, sehingga penulis dapat menyelesaikan skripsi dengan maksimal. Skripsi ini dibuat bertujuan sebagai syarat untuk menyelesaikan pendidikan program sarjana (S-1) pada Program Studi Rekayasa Sistem Komputer Fakultas Ilmu Teknik Universitas Bina Insan Lubuklinggau. Sholawat serta salam semoga tercurahkan kepada Nabi Muhammad SAW, keluarga, sahabat, serta pengikutnya hingga akhir zaman.

Dalam penulisan skripsi ini penulis telah berusaha untuk menyajikan sebaik mungkin, baik dari segi penulisan dan dari segi desain. Penulis menyadari bahwa dalam hal penulisan ini tentunya masih jauh dari kata sempurna, hal ini dikarenakan keterbatasan pengetahuan yang dimiliki. Oleh karena itu dalam rangka melengkapi kesempurnaan dari penulisan skripsi ini diharapkan adanya kritik dan saran yang bersifat membangun.

Pada kesempatan ini penulis mengucapkan terima kasih yang sebesar-besarnya kepada :

1. Bapak Dr. H. Sardiyo, M.M selaku Rektor Universitas Bina Insan Lubuklinggau.
2. Bapak M. Akbar, S.T, M.IT Selaku Wakil Rektor I Universitas Bina Insan Lubuklinggau.
3. Bapak Wakhid Nur Mukhlis, M.Pd selaku Wakil Rektor II Universitas Bina Insan Lubuklinggau.
4. Bapak Dr. Rudi Kurniawan, S.T, M.Kom Selaku Dekan Fakultas Ilmu Teknik Universitas Bina Insan Lubuklinggau.
5. Bapak Armanto, M.Kom Selaku Ketua Program Studi Rekayasa Sistem Komputer yang telah banyak memberikan arahan dan bimbingan dalam penulisan Skripsi ini.

Protected by PDF Anti-Copy Free

(Upgrade to Pro Version to Remove the Watermark)

6. Bapak Dr. M. Agus Syamsul Arifin, S.St., M.Kom selaku pembimbing I yang telah banyak memberikan arahan dan bimbingan dalam penyelesaian Skripsi ini.
7. Ibu Bunga Intan, M.Kom selaku pembimbing II yang telah banyak memberikan arahan dan bimbingan dalam penyelesaian Skripsi ini.
8. Seluruh Staf Dosen dan Karyawan Universitas Bina Insan Lubuklinggau yang telah banyak memberikan ilmu pengetahuan dan bimbingan kepada penulis.
9. Ibuku yang telah memberikan Support & doa sehingga bersemangat agar dapat menyelesaikan skripsi ini.
10. Teman-teman seperjuangan dan sejawat saya selama menjadi mahasiswa prodi rekayasa sistem komputer.

Akhir kata semoga penelitian ini dapat bermanfaat untuk penelitian selanjutnya.

Lubuklinggau, 24 Januari 2025

Meryandi Andika Putra
(2102010030)

Protected by PDF Anti-Copy Free
(Upgrade to Pro Version to Remove the Watermark)
DAFTAR RIWAYAT HIDUP



Biodata :

Nama : Meryandi Andika Putra
Tempat/Tanggal Lahir : Lampung Barat, 18 Agustus 2003
Jenis Kelamin : Laki-Laki
Status : Mahasiswa
Agama : Islam
Alamat : Jogoboyo
Kecamatan Lubuklinggau Utara II, Kota
Lubuklinggau.

Pendidikan :

- SD NEGERI 2 Tanjung Ratu Lampung Tengah
- SMP Muhammadiyah Lubuklinggau
- SMK NEGERI 1 Lubuklinggau

Protected by PDF Anti-Copy Free

(Upgrade to Pro Version to Remove the Watermark)

DAFTAR ISI



HALAMAN JUDUL	i
HALAMAN PENGESAHAN	ii
HALAMAN PERSETUJUAN TIM PENGUJI SKRIPSI	iii
MOTTO DAN PERSEMBAHAN	iv
HALAMAN PERNYATAAN	v
<i>ABSTRACT</i>	vi
ABSTRAK	vii
KATA PENGANTAR	viii
DAFTAR RIWAYAT HIDUP	x
DAFTAR ISI	xi
DAFTAR TABEL	xiii
DAFTAR GAMBAR	xiv
DAFTAR LAMPIRAN	xv
BAB 1 PENDAHULUAN.....	1
1.1 Latar Belakang	1
1.2 Identifikasi Masalah	3
1.3 Rumusan Masalah	3
1.4 Batasan Masalah	3
1.5 Tujuan dan Manfaat Penelitian	4
1.5.1 Tujuan Penelitian	4
1.5.2 Manfaat Penelitian	4
1.6 Sistematika Penulisan	4
BAB II KAJIAN PUSTAKA.....	6
2.1 Literatur	6
2.2 Penelitian Terdahulu yang Relevan	13
2.3 Kerangka Berpikir	14
BAB III METODOLOGI PENELITIAN.....	15
3.1 Metode Penelitian	15
3.2 Metode Pengumpulan Data	15
3.3 Metode Analisa	16

Protected by PDF Anti-Copy Free

(Upgrade to Pro Version to Remove the Watermark)

3.4 Tempat dan Waktu Penelitian.....	18
3.4.1 Tempat Penelitian	18
3.4.2 Waktu Penelitian.....	18
3.5 Alat dan Bahan.....	19
3.5.1 Alat	19
3.5.2 Bahan	19
3.6 Metode Pengujian dan pengolahan Data	19
3.6.1 Metode Pengujian.....	19
3.6.2 Pengolahan Data.....	22
BAB IV HASIL PENELITIAN DAN PEMBAHASAN	35
4.1 Gambaran Umum	35
4.2 Hasil	36
4.2.1 Analisis Dataset	36
4.2.2 Hasil Seleksi Fitur	37
4.3 Pembahasan	43
4.3.1 Pengukuran Performa Klasifikasi.....	43
BAB V KESIMPULAN DAN SARAN	76
5.1 Kesimpulan	76
5.2 Saran.....	76
DAFTAR PUSTAKA	77
DAFTAR LAMPIRAN	80

Protected by PDF Anti-Copy Free

(Upgrade to Pro Version to Remove the Watermark)

DAFTAR TABEL

Tabel 2. 1 Confussion Matrix	12
Tabel 2. 2 Penelitian Relevan	13
Tabel 3. 1 Waktu penelitian	18
Tabel 3. 2 Bobot nilai fitur pada data train.....	26
Tabel 3. 3 Bobot nilai fitur pada data test	29
Tabel 4. 1 Score MAD untuk setiap fitur pada data latih.....	37
Tabel 4. 2 Score MAD untuk setiap fitur pada data uji.....	40
Tabel 4. 3 Akurasi model ML 10 sampai Tanpa pemilihan fitur data latih	43
Tabel 4. 4 Akurasi model ML 10 sampai Tanpa pemilihan fitur data uji.....	44
Tabel 4. 5 Random Forest 10 fitur data latih	44
Tabel 4. 6 Random Forest 20 fitur data latih	45
Tabel 4. 7 Random Forest 30 fitur data latih	46
Tabel 4. 8 Random Forest 40 fitur data latih	47
Tabel 4. 9 Random Forest Tanpa pemilihan fitur data latih	48
Tabel 4. 10 Random Forest 10 fitur data uji.....	49
Tabel 4. 11 Random Forest 20 fitur data uji.....	50
Tabel 4. 12 Random Forest 30 fitur data uji.....	51
Tabel 4. 13 Random Forest 40 fitur data uji.....	52
Tabel 4. 14 Random Forest Tanpa pemilihan fitur data uji	53
Tabel 4. 15 Gradient Boosting Tanpa pemilihan fitur data latih	54
Tabel 4. 16 Gradient Boosting Tanpa pemilihan fitur data uji	54

Protected by PDF Anti-Copy Free

(Upgrade to Pro Version to Remove the Watermark)

DAFTAR GAMBAR

Gambar 2. 1 Formula MAD.....	7
Gambar 2. 2 Internet of Things.....	9
Gambar 2. 3 Internet of Medic.....	9
Gambar 2. 4 Python.....	10
Gambar 2. 5 Google Collab.....	11
Gambar 2. 6 Kerangka Berpikir.....	14
Gambar 3. 1 Tahapan proses penelitian.....	16
Gambar 3. 2 Flowchart Menentukan model terbaik.....	23
Gambar 3. 3 Class attack testing data.....	24
Gambar 3. 4 Class attack training data.....	24
Gambar 3. 5 Contoh serangan pada Class attack type dos syn.....	25
Gambar 3. 6 Grafik Train Data.....	29
Gambar 3. 7 Grafik Test data.....	32
Gambar 4. 1 Distribusi kelas data train.....	36
Gambar 4. 2 Distribusi kelas pada data test.....	37
Gambar 4. 3 Confusion Matrix RF 10 Fitur data latih.....	56
Gambar 4. 4 Confusion Matrix RF 20 Fitur data latih.....	57
Gambar 4. 5 Confusion Matrix RF 30 Fitur data latih.....	58
Gambar 4. 6 Confusion Matrix RF 40 Fitur data latih.....	59
Gambar 4. 7 Confusion Matrix RF Tanpa pemilihan Fitur data latih.....	60
Gambar 4. 8 Confusion Matrix GB Tanpa pemilihan Fitur data latih.....	61
Gambar 4. 9 Confusion Matrix RF 10 Fitur data uji.....	62
Gambar 4. 10 Nilai bobot 10 fitur menggunakan MAD.....	63
Gambar 4. 11 Confusion Matrix RF 20 Fitur data uji.....	64
Gambar 4. 12 Nilai bobot 20 fitur menggunakan MAD.....	65
Gambar 4. 13 Confusion Matrix RF 30 Fitur data uji.....	66
Gambar 4. 14 Nilai bobot 30 fitur menggunakan MAD.....	67
Gambar 4. 15 Confusion Matrix RF 40 Fitur data uji.....	68
Gambar 4. 16 Nilai bobot 40 fitur menggunakan MAD.....	69
Gambar 4. 17 Confusion Matrix RF Tanpa pemilihan Fitur data uji.....	70
Gambar 4. 18 Confusion Matrix GB Tanpa pemilihan Fitur data uji.....	71
Gambar 4. 19 Nilai bobot semua fitur menggunakan MAD.....	72
Gambar 4. 20 Hasil pengujian cross-validation RF 10 fitur.....	73
Gambar 4. 21 Hasil pengujian cross-validation RF 20 fitur.....	73
Gambar 4. 22 Hasil pengujian cross-validation RF 30 fitur.....	74
Gambar 4. 23 Hasil pengujian cross-validation RF 40 fitur.....	74
Gambar 4. 24 Hasil pengujian cross-validation Tanpa pemilihan fitur.....	75
Gambar 4. 25 Hasil pengujian cross-validation Tanpa pemilihan fitur.....	75

Protected by PDF Anti-Copy Free

(Upgrade to Pro Version to Remove the Watermark)

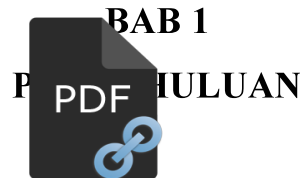
DAFTAR LAMPIRAN

Lampiran 1. Lembar Persetujuan

PDF

Lampiran 2. Lembar Bimbingan Proposal Pembimbing I

Lampiran 3. Lembar Bimbingan Proposal Pembimbing II



BAB 1

PENDAHULUAN

1.1 Latar Belakang

Internet of Medical Things (IoMT) adalah jaringan perangkat medis yang terhubung melalui internet, yang merevolusi konsep *Internet of Things (IoT)*. Istilah IoT pertama kali diperkenalkan oleh Kevin Ashton pada tahun 1999 di *Massachusetts Institute of Technology (MIT)*. Meskipun konsep IoT terus berkembang pesat, penerapannya secara khusus dalam bidang medis baru dimulai pada tahun 2000-an, seiring dengan kemajuan teknologi sensor dan komunikasi nirkabel. IoMT memungkinkan pemantauan kondisi pasien secara *real-time* melalui perangkat seperti sensor yang memantau tanda-tanda vital pasien dan mengirimkan data secara langsung kepada dokter melalui jaringan internet. Aplikasi ini meningkatkan efisiensi perawatan medis dan memberikan solusi untuk pemantauan pasien jarak jauh [1].

Pada tahun 2020, perhatian utama dalam pengembangan IoMT bergeser ke arah pemanfaatan Kecerdasan Buatan (*Artificial Intelligence/AI*). Teknologi AI digunakan untuk menganalisis data medis, memberikan prediksi yang lebih akurat terkait diagnosis, serta mengembangkan perawatan yang dipersonalisasi untuk kebutuhan individu pasien. Pendekatan ini bertujuan untuk meningkatkan efisiensi dan efektivitas pada layanan kesehatan yang disediakan melalui IoMT [2]. Pada akhir tahun 2020, IoMT menyumbang 40% dari pasar IoT. Diperkirakan bahwa ini akan terus tumbuh selama beberapa tahun ke depan karena potensi kontribusi IoMT dalam menurunkan biaya disektor kesehatan. Industri ini dapat menghemat hingga \$300 miliar dengan lebih mengandalkan perangkat IoMT, terutama untuk pasien penyakit kronis [3].

Meningkatkan kerja sama antara produsen, penyedia layanan kesehatan, dan ahli keamanan siber sangat penting untuk mengembangkan sistem IoMT yang kuat dan aman yang memprioritaskan privasi pasien [4].

Protected by PDF Anti-Copy Free

(Upgrade to Pro Version to Remove the Watermark)

Namun, perkembangan cepat IoMT telah berarti bahwa keamanan dan privasi dari sistem kesehatan berbasis IoMT ini sering kali kurang mendapat perhatian yang cukup. Konsentrasi pada keamanan yang tidak memadai dalam sistem kesehatan berbasis IoMT dapat berupa, misalnya, privasi pasien yang terganggu akibat penyadapan, dan keterlambatan deteksi episode yang mengancam jiwa akibat gangguan operasi normal perangkat IoMT yang disebabkan oleh serangan *Denial of Service (DoS)* [5]. Dengan meningkatnya konektivitas, serangan siber pada jaringan IoMT menjadi semakin umum. Salah satu sumber data yang digunakan untuk menganalisis ancaman dilingkungan IoMT adalah CICIOMT2024. Dataset ini dirancang khusus untuk menganalisis dan mendeteksi serangan siber dalam konteks IoMT, termasuk informasi mengenai berbagai jenis serangan yang dapat terjadi pada perangkat medis yang terhubung, seperti DDoS dan *malware*. Selain itu, CICIOMT2024 juga menyediakan karakteristik lalu lintas jaringan yang penting untuk membangun model deteksi serangan yang lebih efektif dan akurat [6].

Untuk mengatasi tantangan ini, penelitian ini akan memanfaatkan dataset CICIOMT2024, yang mencakup skenario serangan pada perangkat IoMT, seperti *Denial-of-Service (DoS)*, *Distributed Denial-of-Service (DDoS)*, dan *Man-in-the-Middle (MitM)*. Data *test* berjumlah 1,614,182 data (18%), sedangkan data *train* berjumlah 7,160,831 data (82%). Jumlah data keseluruhan *train* dan *test* adalah 8,775,013 data. Dengan menganalisis dataset tersebut, penelitian ini bertujuan untuk pembangunan dan evaluasi model, tanpa implementasi langsung pada sistem nyata. melalui penerapan algoritma *Random Forest* dan *Gradient Boosting*. Selain itu juga, pendekatan *Mean Absolute Difference (MAD)* akan digunakan untuk pemilihan fitur yang relevan. Pendekatan ini diharapkan mampu menghasilkan solusi keamanan IoMT yang akurat.

Protected by PDF Anti-Copy Free

(Upgrade to Pro Version to Remove the Watermark)

Dengan ini, penulis akan membuat penelitian proposal dengan judul *Mean Absolute Difference (MAD)* sebagai metode Pemilihan Fitur untuk deteksi serangan pada Jaringan *Internet of Medical Things* menggunakan algoritma *Random Forest* dan *Gradient Boosting*.

1.2 Identifikasi Masalah

Meningkatnya ancaman keamanan pada jaringan *Internet of Medical Things (IoMT)* menjadi masalah utama dalam penelitian ini. Serangan siber seperti *Denial-of-Service (DoS)* dan *Distributed Denial-of-Service (DDoS)* adalah contoh serangan siber yang dapat membahayakan data pasien dan operasi perangkat medis. Untuk meningkatkan akurasi dan efisiensi algoritma *Machine learning*, seperti *Random Forest* dan *Gradient Boosting*, dalam mendeteksi serangan pada jaringan IoMT, diperlukan pengembangan metode pemilihan fitur yang relevan, seperti *Mean Absolute Difference (MAD)*.

1.3 Rumusan Masalah

Dari hasil identifikasi masalah diatas, maka dapat dirumuskan suatu permasalahan yang akan di jawab dalam penelitian ini adalah "**Bagaimana menerapkan *Mean Absolute Difference (MAD)* sebagai metode pemilihan fitur yang efektif untuk meningkatkan akurasi deteksi serangan pada jaringan *Internet of Medical Things (IoMT)* dengan menggunakan algoritma *Random Forest* dan *Gradient Boosting*?"**

1.4 Batasan Masalah

Penulis menetapkan beberapa batasan masalah dalam penelitian ini, yaitu:

- Dataset yang digunakan yaitu; CICIoMT2024, yang mencakup berbagai jenis serangan pada jaringan IoMT.
- Penelitian ini dilakukan menggunakan bahasa pemrograman *Python* dan pustaka pembelajaran mesin seperti *SciKit-learn* akan digunakan untuk

Protected by PDF Anti-Copy Free

(Upgrade to Pro Version to Remove the Watermark)

pemrograman dan analisis data, serta pustaka standar seperti *Pandas* dan *NumPy*.

- c. Penelitian ini berfokus pada pengembangan dan evaluasi model, tanpa implementasi langsung pada sistem nyata.



1.5 Tujuan dan Manfaat Penelitian

1.5.1 Tujuan Penelitian

Adapun tujuan dari penelitian ini sebagai berikut:

- Menentukan fitur-fitur yang paling penting untuk mendeteksi serangan dilakukan dengan menerapkan metode *Mean Absolute Difference (MAD)*.
- Mengevaluasi efektivitas algoritma *Random Forest* dan *Gradient Boosting* dalam mendeteksi serangan pada jaringan *Internet of Medical Things (IoMT)*.

1.5.2 Manfaat Penelitian

Adapun manfaat Dari penelitian ini sebagai berikut:

- Memberikan kontribusi terhadap literatur tentang keamanan jaringan IoMT, terutama dengan menerapkan metode MAD untuk pemilihan fitur dan *Gradient Boosting* dan algoritma *Random Forest*.
- Memberi jaringan IoMT perlindungan yang lebih baik dari serangan, meningkatkan kepercayaan dalam penerapan perangkat IoMT di sektor kesehatan.
- Meningkatkan keamanan jaringan IoMT terhadap serangan siber, yang memastikan keamanan data pasien dan kelangsungan operasional perangkat medis.

1.6 Sistematika Penulisan

- Bab I Pendahuluan

Bab ini menjelaskan latar belakang penelitian, identifikasi masalah, rumusan masalah, batasan masalah, tujuan dan manfaat penelitian, serta sistematika penulisan skripsi ini.

Protected by PDF Anti-Copy Free

(Upgrade to Pro Version to Remove the Watermark)

b. Bab II Kajian Pustaka

Bab ini memuat literatur penelitian terdahulu yang relevan, serta kerangka berpikir yang acuan dalam analisis dan implementasi penelitian.



c. Bab III Metodologi Penelitian

Bab ini menjelaskan metode penelitian yang digunakan, pengumpulan dan pengolahan data, metode analisis, alat dan bahan, serta tahapan pelaksanaan penelitian.

d. Bab IV Hasil Penelitian dan Pembahasan

Bab ini berisi gambaran umum, hasil penelitian, dan pembahasan mendalam tentang hasil yang diperoleh berdasarkan tujuan penelitian dan analisis data.

e. Bab V Kesimpulan dan Saran

Bab ini menyajikan kesimpulan dari hasil penelitian dan memberikan saran yang bermanfaat untuk penelitian lanjutan atau aplikasi praktis.

f. Daftar Pustaka

Bagian ini berisi sumber referensi yang digunakan dalam penulisan skripsi, meliputi jurnal, buku, dan dokumen lain yang relevan.

g. Lampiran

Bagian lampiran berisi data tambahan, tabel, grafik, atau dokumen pendukung lain yang relevan dengan penelitian.



2.1 Literatur

2.1.1 *Intrusion Detection System*

Intrusion Detection System (IDS) adalah sistem yang dilengkapi dengan agen pengumpul data audit untuk memantau aktivitas pada jaringan atau sistem tertentu. Data yang dikumpulkan dapat disimpan atau diproses langsung oleh unit deteksi untuk mengidentifikasi potensi ancaman atau aktivitas mencurigakan. Setelah itu, hasil deteksi ini akan diteruskan ke *Site Security Office (SSO)* untuk ditindaklanjuti. Proses ini biasanya melibatkan langkah tambahan, seperti investigasi lebih lanjut untuk menentukan penyebab alarm yang terdeteksi. [7].

2.1.2 *Feature Selection*

Feature Selection adalah proses memilih subset variabel yang relevan (fitur) untuk digunakan dalam membangun model. Langkah ini sangat penting dalam persiapan data, terutama saat bekerja dengan dataset berdimensi tinggi, di mana banyak variabel mungkin tidak relevan atau redundan. [8]. Dataset seringkali mengandung banyak fitur, namun tidak semuanya memberikan kontribusi signifikan terhadap tugas klasifikasi atau prediksi. Dengan melakukan seleksi fitur, model dapat menghindari kebisingan yang disebabkan oleh data yang tidak relevan, mengurangi risiko *overfitting*, dan hanya memilih fitur yang benar-benar penting bagi performa model [9].

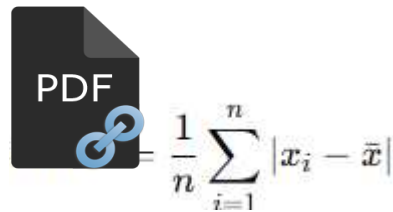
2.1.3 *Mean Absolute Difference*

Mean Absolute Difference (MAD) adalah ukuran statistik yang menghitung rata-rata perbedaan absolut antara nilai dalam dataset, seperti rata-rata atau median [10]. MAD dalam penelitian ini berfungsi sebagai metode pemilihan

Protected by PDF Anti-Copy Free

(Upgrade to Pro Version to Remove the Watermark)

fitur untuk menemukan fitur yang berkontribusi besar terhadap deteksi serangan pada jaringan IoMT.



$$\text{PDF} = \frac{1}{n} \sum_{i=1}^n |x_i - \bar{x}|$$

Gambar 2. 1 Formula MAD

Dimana:

x_i adalah nilai individu dalam dataset,

\bar{x} adalah nilai rata-rata dari seluruh data,

n adalah jumlah total data dalam dataset.

2.1.4 *Random Forest*

Random forest adalah metode pembelajaran *ensemble* yang digunakan untuk *klasifikasi* dan *regresi*. *Random forest* memiliki beberapa keunggulan, seperti jumlah parameter kontrol yang rendah, tahan terhadap *overfitting*. Namun, metode ini juga memiliki beberapa kelemahan, seperti *interpretabilitas* model yang rendah, penurunan kinerja akibat *variabel* terkait, dan ketergantungan pada *generator* acak selama *implementasi* [11].

2.1.5 *Gradient Boosting*

Gradient Boosting adalah algoritma pembelajaran mesin berbasis *ensemble* yang menggabungkan prediksi dari beberapa model sederhana (*weak learners*), seperti pohon keputusan kecil, untuk membentuk model prediksi yang lebih kuat (*strong learners*). Algoritma ini bekerja secara iteratif dengan mengoptimalkan fungsi kerugian (*loss function*) menggunakan pendekatan *gradient descent*. Setiap model baru yang ditambahkan bertujuan untuk

Protected by PDF Anti-Copy Free

(Upgrade to Pro Version to Remove the Watermark)

mengurangi kesalahan yang dibuat oleh model sebelumnya, sehingga menghasilkan prediksi akhir yang lebih akurat [12].



2.1.6 Internet

Internet (*Inter-Network*) merujuk pada jaringan komputer yang saling terhubung, mencakup situs-situs dari berbagai sektor seperti akademik, pemerintahan, komersial, organisasi, serta individu. Internet menyediakan akses kepada layanan telekomunikasi dan sumber daya informasi yang dapat diakses oleh jutaan penggunanya yang tersebar di seluruh dunia. Internet pertama kali dikembangkan pada 1960-an sebagai sarana untuk berbagi informasi antar peneliti, terutama dalam lingkup militer dan akademik [13].

2.1.7 Internet of Things

Internet of Things (IoT) merujuk pada jaringan perangkat fisik yang terhubung ke internet, Teknologi ini memungkinkan otomatisasi dan pengolahan data secara *real-time*, yang mempermudah komunikasi antar perangkat di berbagai sektor kehidupan. Konsep *Internet of Things (IoT)* pertama kali diperkenalkan pada tahun 1982 melalui perangkat yang dikenal sebagai "*Coca-Cola Machine*". Perangkat ini, dirancang oleh David Nichols dari *Carnegie Mellon University*, dihubungkan ke internet untuk memantau stok minuman di dalam mesin. Teknologi ini memungkinkan pemilik mesin untuk menerima laporan ketersediaan minuman secara online tanpa perlu melakukan pemeriksaan langsung, menjadi salah satu contoh awal penerapan IoT [14].

Protected by PDF Anti-Copy Free

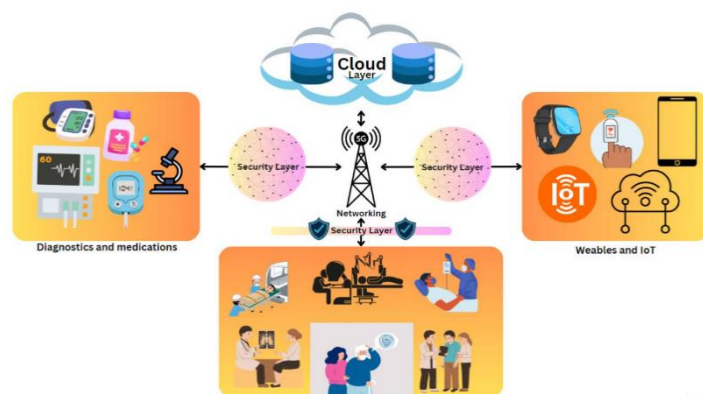
(Upgrade to Pro Version to Remove the Watermark)



Gambar 2. 2 *Internet of Things (IoT)*

2.1.8 *Internet of Medical Things*

Internet of Medical Things (IoMT) merupakan perkembangan dari konsep *Internet of Things (IoT)* yang khusus diterapkan di bidang medis. Perangkat IoMT meliputi berbagai teknologi, seperti alat pemantau kesehatan yang dapat dipakai (*wearable*), alat pacu jantung yang terhubung ke jaringan, hingga perangkat medis yang terintegrasi dengan fasilitas rumah sakit untuk meningkatkan efisiensi dan pemantauan kesehatan pasien [15]. Karena mengelola data yang sensitif, keamanan IoMT menjadi hal yang penting [16].



Gambar 2. 3 *Internet of Medical Things*

Sumber: Mukhopadhyay et al. 2024

Protected by PDF Anti-Copy Free

(Upgrade to Pro Version to Remove the Watermark)

2.1.9 Python

Python adalah bahasa pemrograman yang sangat populer dan mudah dipelajari, terutama bagi pemula. Salah satu alasan utama penggunaan *Python* yang luas adalah sintaksnya yang sederhana dan jelas, sehingga memudahkan pembaca untuk memahami kode yang ditulis [17]. *Python* juga mendukung berbagai platform, artinya bisa dijalankan di berbagai sistem operasi seperti *Windows*, *macOS*, dan *Linux*. Berkat *fleksibilitas* dan kemudahan penggunaannya, *Python* menjadi pilihan yang sangat tepat bagi mereka yang ingin belajar pemrograman atau berkarir di bidang teknologi [15].

Python banyak digunakan di berbagai bidang, seperti pengembangan web, analisis data, dan kecerdasan buatan. Salah satu alasan mengapa *Python* begitu populer adalah karena ketersediaan banyak pustaka (*library*) dan *framework* yang mendukung beragam kebutuhan, seperti *NumPy* dan *Pandas* untuk analisis data, serta *TensorFlow* dan *scikit-learn* untuk pembelajaran mesin [6].



Gambar 2. 4 Python

2.1.10 Google Colab

Google Colab, yang juga dikenal sebagai Google Colaboratory, adalah platform berbasis *cloud* yang memungkinkan pengguna untuk menulis dan menjalankan kode *Python* dalam bentuk *notebook interaktif*. Platform ini dikembangkan oleh Google untuk membantu para programmer, peneliti, dan ilmuwan data dalam mengembangkan analisis data dan model pembelajaran mesin tanpa perlu menginstal perangkat lunak tambahan. Google Colab

Protected by PDF Anti-Copy Free

(Upgrade to Pro Version to Remove the Watermark)

memungkinkan pemrosesan gambar dan analisis data besar secara mudah, didukung oleh kekuatan GPU dan CPU [18].



Gambar 2. 5 Google Collab

2.1.11 Dataset

Dataset merupakan sebuah sekumpulan data yang berasal dari informasi-informasi pada masa lalu dan siap untuk dikelola menjadi sebuah informasi baru[19].

2.1.12 Dataset CICIoMT2024

Dataset CICIoMT2024 dikembangkan oleh *Canadian Institute for Cybersecurity* untuk mendukung penelitian mengenai keamanan siber dalam konteks *Internet of Medical Things (IoMT)*. Dataset ini mencakup data yang telah dilabeli untuk 19 jenis serangan siber, termasuk serangan *Distributed Denial of Service (DDoS)* dan jenis serangan lainnya. Dataset ini sangat berguna untuk menguji algoritma pembelajaran mesin yang bertujuan meningkatkan keamanan IoMT, serta dapat digunakan untuk mengembangkan dan mengevaluasi model yang dirancang untuk memperkuat pertahanan jaringan medis dari ancaman siber [6].

Protected by PDF Anti-Copy Free

(Upgrade to Pro Version to Remove the Watermark)

2.1.13 Confussion Matrix



Metode *Confussion Matrix* digunakan untuk menghitung akurasi algoritma klasifikasi. Metode ini menghasilkan nilai-nilai seperti akurasi, presisi, dan *recall*. Akurasi adalah persentase ketepatan klasifikasi data yang berhasil dikelompokkan dengan benar setelah pengujian dilakukan [20]. Penelitian ini mengukur tingkat akurasi menggunakan metode *confusion matrix* yang ditunjukkan pada table 2.1 dibawah ini.

Tabel 2. 1 *Confussion Matrix*

		Nilai Sebenarnya	
		Benar	Salah
Nilai Prediksi	Benar	TP	FP
	Salah	FN	TN

Sumber: Jalil et al. 2024

Keterangan :

TP : Klasifikasi benar pada prediksi dan benar pada nilai sebenarnya

FP : Klasifikasi benar pada prediksi dan salah pada nilai sebenarnya

FN : Klasifikasi salah pada prediksi dan benar pada nilai sebenarnya

TN : Klasifikasi salah pada prediksi dan salah pada nilai sebenarnya


Protected by PDF Anti-Copy Free

(Upgrade to Pro Version to Remove the Watermark)

2.2 Penelitian Terdahulu yang Relevan

Berikut merupakan beberapa penelitian terdahulu yang menjadi landasan penelitian.

Tabel 2. 2 Penelitian Relevan



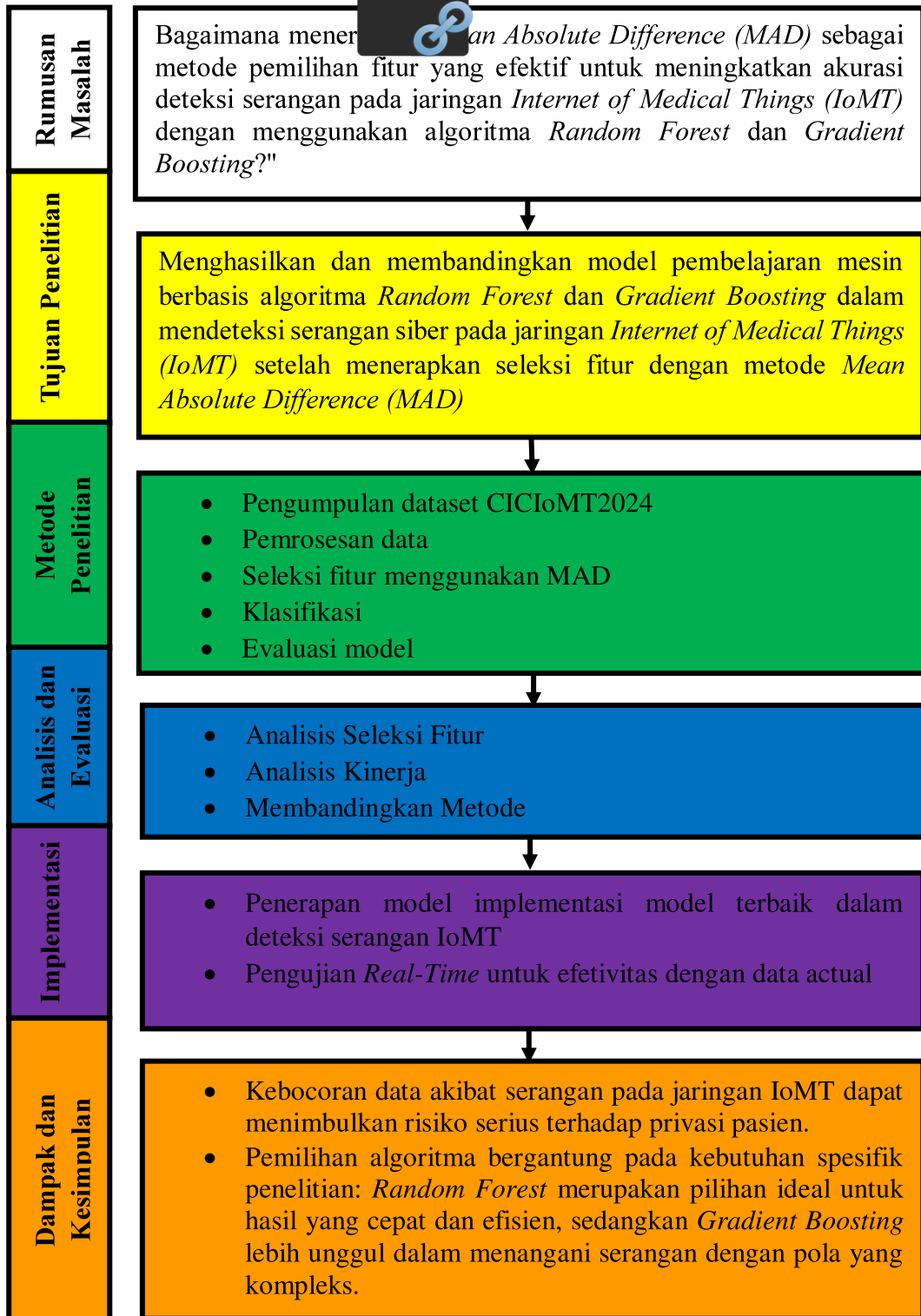
No.	Penulis	Judul	Metode	Hasil
1	Aljumaie, G. S., et al. (2021) [1]	<i>Modern Study on Internet of Medical Things (IoMT) Security</i>	<i>Analisis Literatur</i>	Identifikasi ancaman utama pada IoMT, termasuk risiko keamanan data, serta rekomendasi teknologi keamanan berbasis <i>blockchain</i> dan <i>enkripsi</i> .
2	Ghubaish, A., et al. (2020) [3]	<i>Recent Advances in the Internet-of-Medical-Things (IoMT) Systems Security</i>	<i>Kombinasi Blockchain dan Keamanan IoMT</i>	<i>Blockchain</i> terbukti efektif dalam mitigasi serangan siber pada perangkat IoMT, meskipun tantangan <i>interoperabilitas</i> masih menjadi kendala.
3	Adnan, A., et al. (2021) [7]	<i>An Intrusion Detection System for the Internet of Things Based on Machine Learning: Review and Challenges</i>	<i>Machine Learning</i>	Mengulas IDS berbasis machine learning untuk mendeteksi serangan pada IoT, dengan fokus pada tantangan dataset besar dan evaluasi akurasi.
4	Sun, Y., et al. (2019) [5]	<i>Security and Privacy for the Internet of Medical Things Enabled Healthcare Systems: A Survey</i>	<i>Survei literatur</i>	Menganalisis ancaman privasi dan keamanan pada IoMT, serta memberikan rekomendasi solusi berbasis kriptografi dan autentikasi.
5	Upadhyay et al. (2020) [12]	<i>Gradient boosting feature selection with machine learning classifiers for intrusion detection on power grids</i>	<i>Gradient Boosting, Feature Selection</i>	<i>Gradient Boosting</i> efektif untuk seleksi fitur dan klasifikasi serangan pada jaringan listrik, dengan tingkat akurasi tinggi.

Protected by PDF Anti-Copy Free

(Upgrade to Pro Version to Remove the Watermark)

2.3 Kerangka Berpikir

Berikut dibawah ini adalah kerangka berpikir yang menjadi acuan dalam metodologi penelitian ini.



Gambar 2. 6 Kerangka Berpikir

METODE PENELITIAN



3.1 Metode Penelitian

Metode penelitian yang digunakan penulis dalam penelitian ini adalah metode kuantitatif untuk menguji efektivitas metode *Mean Absolute Difference (MAD)* dalam seleksi fitur. Penelitian kuantitatif merupakan pendekatan ilmiah yang dilakukan secara sistematis untuk mempelajari bagian-bagian dan hubungan kausal dari suatu fenomena. Penelitian ini melibatkan pengumpulan data yang dapat diukur menggunakan teknik analisis berbasis statistik, matematika, atau metode komputasi. Pendekatan ini bertujuan untuk mengidentifikasi hubungan antar variabel, menjelaskan fenomena, atau menguji hipotesis secara objektif melalui analisis data numerik [21].

3.2 Metode Pengumpulan Data

Dalam penelitian ini, pengumpulan data dilakukan melalui studi literatur untuk mengidentifikasi teori dan konsep yang relevan, serta pengolahan dataset yang akan digunakan. Metode pengumpulan data merujuk pada teknik atau prosedur yang diterapkan oleh peneliti untuk memperoleh data yang diperlukan guna mencapai tujuan penelitian. Pendekatan ini bertujuan untuk mengumpulkan informasi yang relevan dan mendukung proses analisis. Selain itu, instrumen yang digunakan dalam proses pengumpulan data dikenal sebagai alat atau sarana pengumpulan data.

Data yang digunakan dalam penelitian ini berupa dataset CICIoMT2024 dalam format CSV. Dataset ini dirancang khusus untuk mendukung penelitian terkait keamanan siber, dengan fokus pada jaringan *Internet of Medical Things (IoMT)*. CICIoMT2024 mencakup berbagai jenis data lalu lintas jaringan yang dihasilkan oleh perangkat IoMT, termasuk skenario aktivitas normal dan berbagai jenis serangan keamanan, sehingga cocok untuk tujuan analisis dan pengembangan model keamanan berbasis *Machine Learning*.

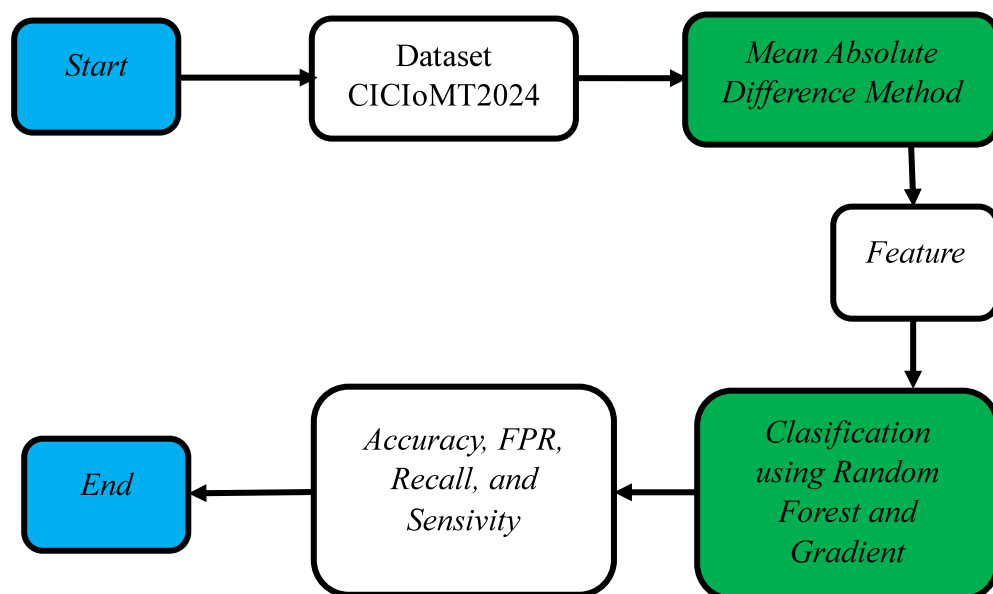
Protected by PDF Anti-Copy Free

(Upgrade to Pro Version to Remove the Watermark)

3.3 Metode Analisa

Metode analisis yang digunakan dalam penelitian ini adalah analisis anomali. Pendekatan ini merupakan salah satu metode utama dalam mendeteksi serangan pada jaringan komputer. Metode analisis anomali berfokus pada identifikasi aktivitas atau perilaku yang tidak biasa dalam lalu lintas jaringan. Aktivitas yang mencurigakan ini dapat mencakup peningkatan mendadak dalam permintaan koneksi dari sumber yang tidak dikenal atau lonjakan volume lalu lintas dari alamat yang tidak dikenali.

Pendekatan yang digunakan dalam penelitian ini yaitu pendekatan *Machine Learning*, dengan menggunakan algoritma *Random Forest* dan *Gradient Boosting*, untuk klasifikasi serangan pada dataset CICIoMT2024 [6]. Penelitian ini akan dimulai dengan menjelaskan dataset yang digunakan, termasuk sumber, struktur, dan karakteristiknya. Selanjutnya, penelitian ini akan menerapkan metode *Machine Learning* dengan pendekatan seleksi fitur menggunakan *Mean Absolute Difference (MAD)*. Metode ini bertujuan untuk memilih fitur yang relevan dalam deteksi serangan, sebelum menggunakan algoritma *Random Forest* dan *Gradient Boosting* untuk proses klasifikasi.




Gambar 3. 1 Tahapan proses penelitian

Protected by PDF Anti-Copy Free

(Upgrade to Pro Version to Remove the Watermark)

Dalam penelitian ini, tahapan-tahapan dari analisis kebutuhan antara lain:

- a. Mulai (*Start*)
- b. Dataset CICIOM 

Pada tahap ini, penulis mengumpulkan data yang diperlukan yaitu dataset *CICIOMT2024*, yang bertujuan untuk mendapatkan informasi tentang kebutuhan dari penulis dan analisis yang dibutuhkan.
- c. *Mean Absolute Difference method*

Langkah selanjutnya adalah memilih fitur yang relevan, dalam analisis ini fitur yang dipilih menggunakan metode *Mean Absolute Difference*.
- d. *Feature*

Setelah menggunakan fitur *Mean Absolute Difference* Kemudian, fitur-fitur yang telah dipilih digunakan untuk melatih model *Machine Learning* dengan algoritma *Random Forest* dan *Gradient Boosting*.
- e. *Classification Using Random Forest and Gradient Boosting*

Selanjutnya, pada tahap klasifikasi, digunakan dua algoritma, yaitu *Random Forest* dan *Gradient Boosting*, untuk membangun model prediktif yang mampu mengidentifikasi pola dalam data.
- f. *Accuracy, FPR, Recall, and Sensitivity*

Tahap berikutnya untuk mengevaluasi performa model dalam mendeteksi serangan pada dataset *CICIOMT2024* adalah dengan menghitung metrik seperti akurasi, *False Positive Rate (FPR)*, *recall*, dan sensitivitas.
- g. *End*

Pada tahap evaluasi, hasil pengukuran metrik dapat memberikan gambaran tentang performa model yang telah dibuat.

Protected by PDF Anti-Copy Free

(Upgrade to Pro Version to Remove the Watermark)

3.4 Tempat dan Waktu Penelitian

3.4.1 Tempat Penelitian

Tempat penelitian dilakukan di Ruangan Kampus B, Lab Rekayasa Sistem Komputer Universitas Bina Insan, di JL. Jendral Besar HM. Soeharto KM13 Kelurahan Lubuk Kupang Kecamatan Lubuklinggau Selatan I Kota Lubuklinggau Sumatera Selatan.

3.4.2 Waktu Penelitian

Dalam menyelesaikan proposal skripsi ini, waktu penelitian yang dibutuhkan oleh penulis dapat dilihat dari table 3.1 berikut ini:

Tabel 3. 1 Waktu penelitian

No	Jenis Kegiatan	Waktu Kegiatan											
		November 2024				Desember 2024				Januari 2024			
		1	2	3	4	1	2	3	4	1	2	3	4
1	Pengajuan Judul	■	■	■	■								
2	Analisa Kebutuhan				■	■	■						
3	Penulisan Proposal					■	■	■	■				
4	Bimbingan Proposal								■				
5	Ujian Proposal								■				
6	Revisi ujian proposal								■				
7	Pengolahan dan pengujian data									■	■	■	
8	Bimbingan skripsi										■	■	■
9	Ujian skripsi												■

Protected by PDF Anti-Copy Free

(Upgrade to Pro Version to Remove the Watermark)

3.5 Alat dan Bahan

3.5.1 Alat

Adapun alat yang digunakan penulis dalam penelitian ini adalah sebagai berikut:



- a. Perangkat Keras (*Hardware*)
 1. Laptop Acer
 2. Printer Epson L3210
- b. Perangkat Lunak (*Software*)
 1. Microsoft Office Word 2019
 2. Python

3.5.2 Bahan

Adapun bahan yang digunakan penulis dalam penelitian ini adalah sebagai berikut:

- a. Kertas A4 ukuran 70gram.
- b. Tinta Printer.

3.6 Metode Pengujian dan pengolahan Data

3.6.1 Metode Pengujian

Metode pengujian dalam penelitian ini menggunakan *algoritma Random Forest* dan *Gradient Boosting* serta pemilihan fitur *Mean Absolute Difference (MAD)* untuk menilai kinerja sistem dalam mendeteksi serangan pada *Internet of Medical Things (IoMT)*. Untuk memastikan bahwa data mencakup berbagai jenis serangan dan data normal yang *representatif*, pengujian pertama dilakukan pada dataset. Pengujian dilakukan berdasarkan kualitas, distribusi kelas, dan kelengkapan fitur setelah tahap *preprocessing* dan pemilihan fitur, di mana *Mean Absolute Difference (MAD)* digunakan.

Tahap berikutnya adalah melakukan pengujian pada proses *preprocessing* untuk memastikan bahwa data telah melalui tahap pembersihan, normalisasi, dan encoding dengan benar. Pengujian ini

Protected by PDF Anti-Copy Free

(Upgrade to Pro Version to Remove the Watermark)

meliputi pengecekan keberadaan nilai yang hilang (*missing values*), verifikasi skala data setelah normalisasi, serta validasi hasil *encoding* pada fitur kategorikal. Seleksi fitur dilakukan menggunakan metode *Mean Absolute Deviation* dengan menghitung nilai statistiknya untuk memastikan bahwa fitur-fitur yang dipilih mampu meningkatkan performa model klasifikasi.

Evaluasi model klasifikasi dilakukan dengan melatih algoritma *Random Forest* dan *Gradient Boosting*. Untuk memastikan hasil yang konsisten, model ini diuji melalui *cross-validation* dan kemudian diuji pada data uji yang berbeda. Performa model diukur dengan metrik seperti:

1. Akurasi

Dalam akurasi, menunjukkan seberapa akurat prediksi model dapat diklasifikasikan secara akurat dengan menggunakan kumpulan data [22].

$$\frac{TP+TN}{TP+TN+FP+FN} \dots\dots\dots(1)$$

2. Precision

Mengevaluasi tingkat keakuratan hasil data tertentu dengan membandingkan hasil yang dihasilkan oleh model yang menghitung perbedaan antara jumlah data dengan label positif dan jumlah data true positif [22].

$$\frac{TP}{TP+FP} \dots\dots\dots(2)$$

3. F1 Score

Perbandingan nilai rata-rata harmonik yang diperoleh dari hasil recall dan precision [22].

$$F1 = 2 \left(\frac{Precision * Recall}{Precision + Recall} \right) \dots\dots\dots(3)$$

Protected by PDF Anti-Copy Free

(Upgrade to Pro Version to Remove the Watermark)

4. False Positive Rate (FPR)

FPR adalah ukuran seberapa sering model memprediksi kelas negatif untuk data yang sebenarnya positif. FPR dapat dihitung dengan membagi jumlah prediksi kelas negatif yang salah dengan jumlah total kelas negatif [22].

$$\frac{FP}{FP+TN} \dots\dots\dots (4)$$

5. True Positive Rate (TPR)

(TPR) yang juga dikenal sebagai sensitivitas atau *recall*, adalah metrik yang mengukur seberapa baik model mendeteksi label positif yang sebenarnya. TPR dihitung dengan membagi jumlah prediksi benar untuk kelas positif (*True Positive*) dengan total jumlah data yang benar-benar termasuk dalam kelas positif (*True Positive + False Negative*) [22].

$$\frac{TP}{TP+FN} \dots\dots\dots (5)$$

6. True Negative Rate (TNR)

TNR juga dikenal sebagai *specificity*, adalah metrik yang digunakan untuk mengukur kemampuan suatu model dalam mengidentifikasi data negatif dengan benar. TNR menunjukkan proporsi dari data yang sebenarnya negatif (*True Negative*) yang berhasil diprediksi dengan tepat oleh model terhadap total jumlah data negatif [22].

$$\frac{TN}{TP+FN} \dots\dots\dots (6)$$

7. False Negative Rate (FNR)

FNR adalah metrik yang digunakan untuk mengukur seberapa sering model salah memprediksi data yang sebenarnya termasuk dalam kelas negatif sebagai kelas positif [22].

$$\frac{FN}{TP+FN} \dots\dots\dots (7)$$

Protected by PDF Anti-Copy Free

(Upgrade to Pro Version to Remove the Watermark)

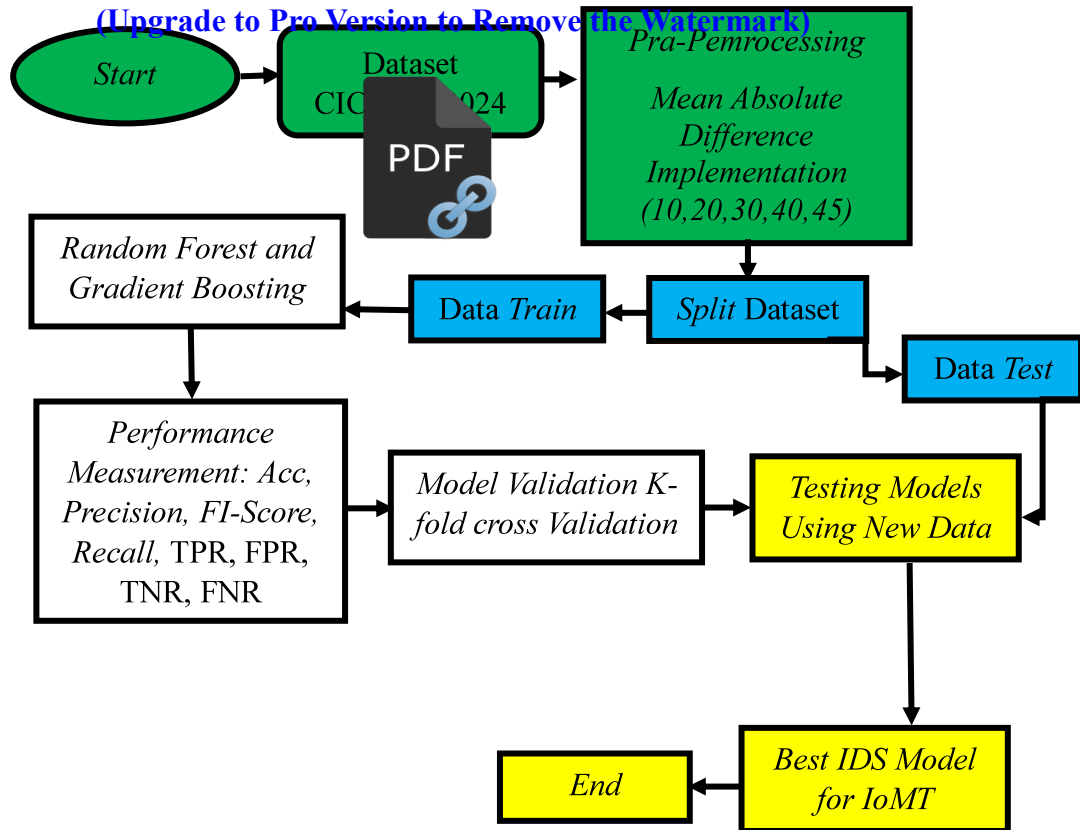
Hasil evaluasi dari kedua algoritma dibandingkan untuk menentukan mana yang lebih unggul antara *Random Forest* dan *Gradient Boosting*.

Hasil pengujian dalam bentuk visualisasi yang mencakup tabel, grafik, dan *confusion matrix* untuk mendukung analisis dan interpretasi data. Visualisasi ini memberikan gambaran yang jelas mengenai performa sistem dalam mendeteksi serangan pada jaringan IoMT. Berdasarkan hasil pengujian, dilakukan evaluasi untuk menentukan tingkat keberhasilan sistem dalam mencapai akurasi tinggi.

3.6.2 Pengolahan Data

Sebelum data dibagi menjadi data latih dan data uji, data yang dikumpulkan terlebih dahulu diproses melalui tahap pembersihan, *encoding*, dan normalisasi. Metode *Mean Absolute Difference* digunakan untuk memilih fitur-fitur yang signifikan dalam pelatihan model. *Gradient Boosting* bekerja dengan iterasi untuk memperbaiki kesalahan pada model sebelumnya, sedangkan *Random Forest* menggabungkan hasil dari berbagai pohon keputusan. Evaluasi kinerja kedua model dilakukan menggunakan metrik seperti akurasi, presisi, dan *recall*. Hasil analisis menunjukkan bahwa pemilihan fitur yang tepat secara signifikan dapat meningkatkan kinerja model dalam mendeteksi serangan dengan membandingkan keunggulan masing-masing algoritma. Hasilnya menunjukkan bahwa, dengan membandingkan keunggulan masing-masing algoritma, pemilihan fitur yang tepat dapat meningkatkan kinerja deteksi serangan. Pada Gambar 3.2 merupakan tahapan-tahapan dalam pengolahan data *training* dan data *testing*.

Protected by PDF Anti-Copy Free



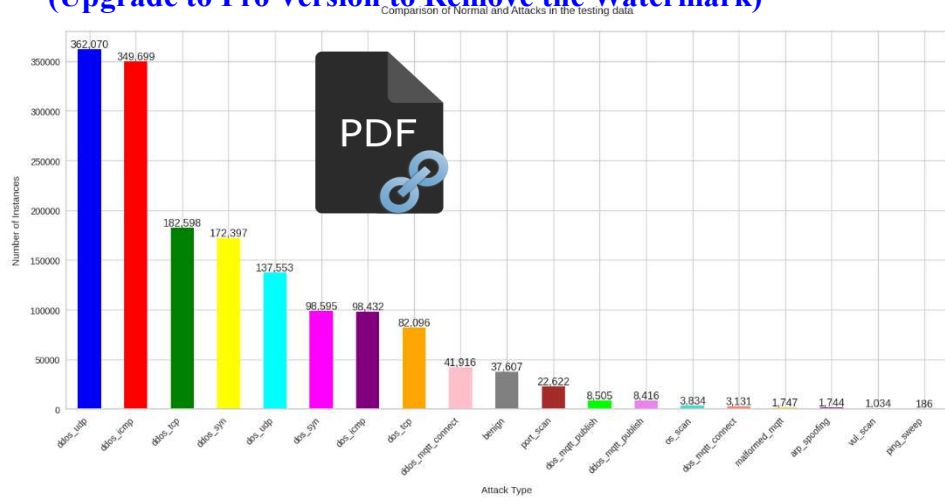
Gambar 3. 2 Flowchart Menentukan model terbaik

Dalam penelitian ini, tahapan-tahapan dari Pengolahan data antara lain:

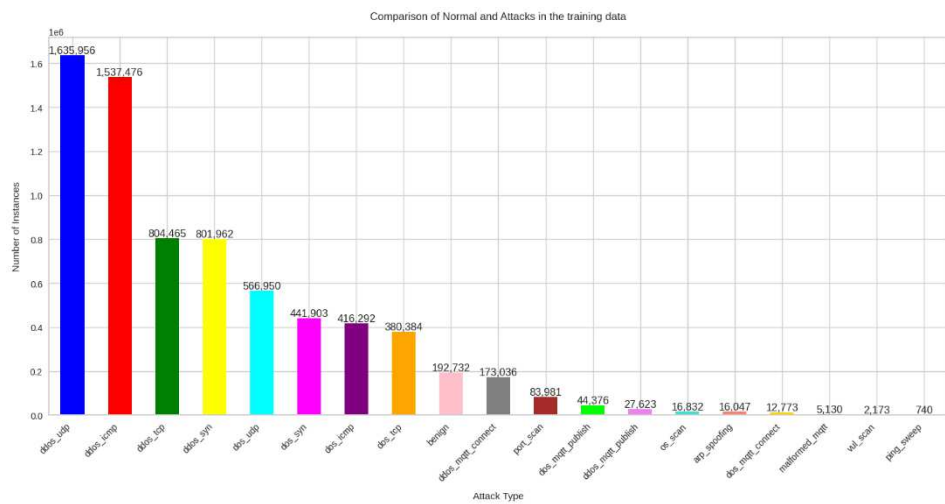
1. *Start*
2. Dataset CICIoMT2024

Pada tahap ini, penulis mengumpulkan data yang diperlukan yaitu dataset *CICIoMT2024*, yang bertujuan untuk mendapatkan informasi tentang kebutuhan dari penulis dan analisis yang dibutuhkan, lalu menentukan *class attack* dari *testing* dan *training* data dalam dataset seperti Gambar 3.3 dan Gambar 3.4 dibawah ini:

Protected by PDF Anti-Copy Free
 (Upgrade to Pro Version to Remove the Watermark)



Gambar 3. 3 Class attack testing data



Gambar 3. 4 Class attack training data

Protected by PDF Anti-Copy Free

(Upgrade to Pro Version to Remove the Watermark)

No.	Time	Source	Destination	Protocol	Length	Info
7167	419.435345999	192.168.184.110	192.168.184.159	TCP	60	3413 → 80 [RST] Seq=1 Win=0 Len=0
7168	419.436986064	192.168.184.110	192.168.184.159	TCP	1078	41156 → 80 [SYN] Seq=0 Win=8192 Len=1024 [TCP segment of a flow ...]
7169	419.437017906	192.168.184.159	192.168.184.110	TCP	58	80 → 41156 [SYN, ACK] Seq=0 Ack=1 Win=64240 Len=0
7170	419.437254994	192.168.184.110	192.168.184.159	TCP	60	41156 → 80 [RST] Seq=1 Win=0 Len=0
7171	419.440043662	192.168.184.110	192.168.184.159	TCP	1078	4001 → 80 [SYN] Seq=0 Win=8192 Len=1024 [TCP segment of a flow ...]
7172	419.440103628	192.168.184.159	192.168.184.110	TCP	58	80 → 4001 [SYN, ACK] Seq=0 Ack=1 Win=64240 Len=0
7173	419.440397851	192.168.184.110	192.168.184.159	TCP	60	4001 → 80 [RST] Seq=1 Win=0 Len=0
7174	419.443082540	192.168.184.110	192.168.184.159	TCP	1078	5305 → 80 [SYN] Seq=0 Win=8192 Len=1024 [TCP segment of a flow ...]
7175	419.443142201	192.168.184.159	192.168.184.110	TCP	58	80 → 5305 [SYN, ACK] Seq=0 Ack=1 Win=64240 Len=0
7176	419.443428454	192.168.184.110	192.168.184.159	TCP	60	5305 → 80 [RST] Seq=1 Win=0 Len=0
7177	419.447048648	192.168.184.110	192.168.184.159	TCP	1078	28005 → 80 [SYN] Seq=0 Win=8192 Len=1024 [TCP segment of a flow ...]
7178	419.447122622	192.168.184.159	192.168.184.110	TCP	58	80 → 28005 [SYN, ACK] Seq=0 Ack=1 Win=64240 Len=0

```

Frame 44: 74 bytes on wire (592 bits), 74 bytes captured (592 bits) on interface enp0s3, id 0
  Interface id: 0 (enp0s3)
    Encapsulation type: Ethernet (1)
      Arrival Time: Dec 23, 2023 00:38:46.648657619 WIB
      [Time shift for this packet: 0.000000000 seconds]
      Epoch Time: 1793266726.648657619 seconds
      [Time delta from previous captured frame: 0.001343728 seconds]
      [Time delta from previous displayed frame: 0.000000000 seconds]
      [Time since reference or first frame: 78.766682648 seconds]
    Frame Number: 44
    Frame Length: 74 bytes (592 bits)
    Capture Length: 74 bytes (592 bits)
    [Frame is marked: False]
    [Frame is ignored: False]
    [Protocols in frame: eth:ethertype:ip:tcp]
    [Coloring Rule Name: HTTP]
    [Coloring Rule String: http || tcp.port == 80 || http2]
  Ethernet II, Src: PcsCompu_49:26:01 (08:00:27:49:26:01), Dst: 26:46:5a:bf:1d:16 (26:46:5a:bf:1d:16)
  Internet Protocol Version 4, Src: 192.168.184.159, Dst: 185.125.190.49
  Transmission Control Protocol, Src Port: 58298, Dst Port: 80, Seq: 0, Len: 0
    Source Port: 58298
    Destination Port: 80
    [Stream index: 0]
    [TCP Segment Len: 0]
    Sequence number: 0 (relative sequence number)
    Sequence number (raw): 2447605291
    [Next sequence number: 1 (relative sequence number)]
  
```

Gambar 3. 5 Contoh serangan pada *Class attack type dos syn*

3. Pra-Pemrosesan

Setelah dataset dikumpulkan selanjutnya adalah pra-pemrosesan dengan menentukan nilai dari setiap fitur berdasarkan *Mean Absolute Difference* yang merupakan metode yang digunakan dalam analisis dataset CICIO MT2024. Fitur-fitur tersebut diseleksi dari 10 fitur sampai 45 fitur, seperti pada tabel 3.2 dan tabel 3.3, gambar grafik 3.6 dan gambar grafik 3.7:

Protected by PDF Anti-Copy Free

(Upgrade to Pro Version to Remove the Watermark)

Tabel 3. 2 Bobot nilai fitur pada data train

<i>Rank</i>	<i>Feature</i>	<i>Mean Absolute Difference Score</i>
1	IAT (<i>Inter-Arrival Time</i>)	0.499988
2	rst_flag_number (<i>Reset Flag Count</i>)	0.453422
3	ack_flag_number (<i>Acknowledgment Flag Count</i>)	0.453344
4	syn_flag_number (<i>Synchronization Flag Count</i>)	0.453100
5	TCP (<i>Transmission Control Protocol</i>)	0.453013
6	UDP (<i>User Datagram Protocol</i>)	0.451794
7	HTTPS (<i>HyperText Transfer Protocol Secure</i>)	0.433977
8	Variance	0.427457
9	Weight	0.423042
10	Max (<i>Maximum</i>)	0.415186
11	Tot size (<i>Total Size</i>)	0.385237
12	AVG (<i>Average</i>)	0.381761
13	Magnitue	0.373869
14	Min (<i>Minimum</i>)	0.354019


Protected by PDF Anti-Copy Free

(Upgrade to Pro Version to Remove the Watermark)

15	Ipv (<i>Internet Protocol</i>)	0.326888
16	LLC (<i>Link Control</i>)	0.326888
17	ARP (<i>Address Resolution Protocol</i>)	0.326888
18	Protocol Type	0.300070
19	Number	0.285763
20	Radius	0.282676
21	Std (<i>Standard Deviation</i>)	0.282587
22	Tot sum (<i>Total Sum</i>)	0.255855
23	Covariance	0.250390
24	rst_count (<i>Reset Packet Count</i>)	0.241799
25	Header_Length	0.232087
26	Duration	0.205287
27	psh_flag_number (<i>Push Flag Count</i>)	0.193998
28	syn_count (<i>Synchronization Packet Count</i>)	0.077385
29	fin_flag_number (<i>Finish Flag Count</i>)	0.068509
30	HTTP (<i>HyperText Transfer Protocol</i>)	0.041826
31	ack_count (<i>Acknowledgment Packet Count</i>)	0.033779

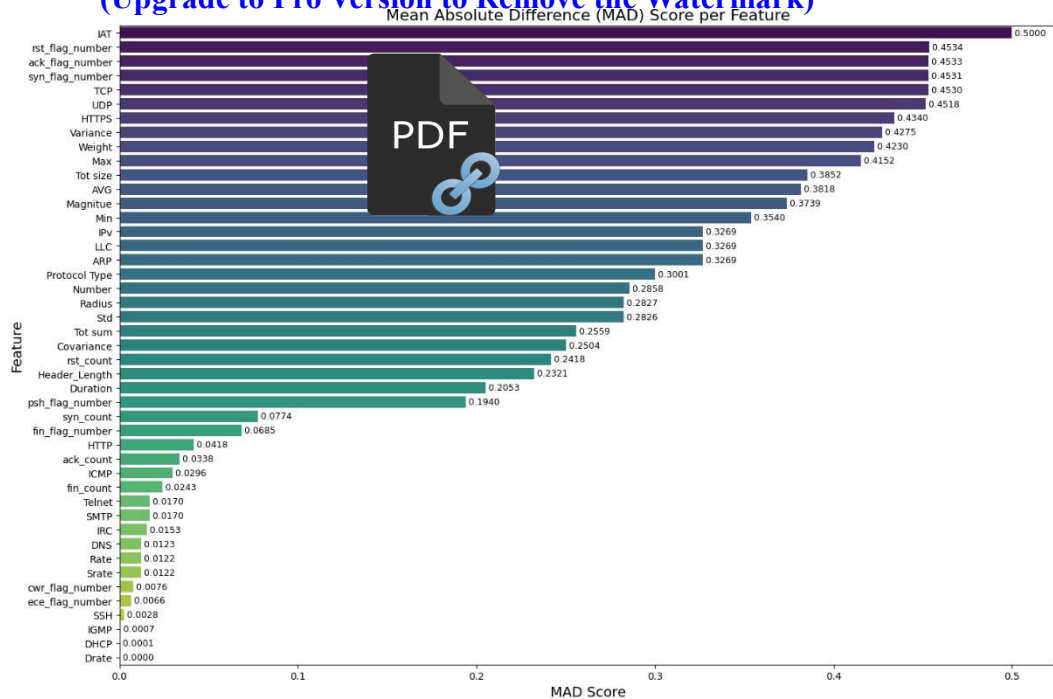
Protected by PDF Anti-Copy Free

(Upgrade to Pro Version to Remove the Watermark)

32	ICMP (<i>Internet Control Message Protocol</i>)	0.029592
33	fin_co  h Packet	0.024306
34	Telnet (<i>Terminal Network</i>)	0.016964
35	SMTP (<i>Simple Mail Transfer Protocol</i>)	0.016964
36	IRC (<i>Internet Relay Chat</i>)	0.015267
37	DNS (<i>Domain Name System</i>)	0.012266
38	Rate	0.012214
39	Srate (<i>Source Rate</i>)	0.012214
40	cwr_flag_number (<i>Congestion Window Reduced Flag Count</i>)	0.007576
41	ece_flag_number (<i>Explicit Congestion Notification Echo Flag Count</i>)	0.006551
42	SSH (<i>Secure Shell</i>)	0.002771
43	IGMP (<i>Internet Group Management Protocol</i>)	0.000657
44	DHCP (<i>Dynamic Host Configuration Protocol</i>)	0.000145
45	Drate (<i>Destination Rate</i>)	0.000000

Protected by PDF Anti-Copy Free

(Upgrade to Pro Version to Remove the Watermark)



Gambar 3. 6 Grafik *Train Data*

Tabel 3. 3 Bobot nilai fitur pada data *test*

<i>Rank</i>	<i>Feature</i>	<i>Mean Absolute Difference Score</i>
1	IAT (<i>Inter-Arrival Time</i>)	0.499988
2	HTTPS (<i>HyperText Transfer Protocol Secure</i>)	0.469943
3	syn_flag_number (<i>Synchronization Flag Count</i>)	0.465698
4	ack_flag_number (<i>Acknowledgment Flag Count</i>)	0.460906
5	rst_flag_number (<i>Reset Flag Count</i>)	0.454429

Protected by PDF Anti-Copy Free

(Upgrade to Pro Version to Remove the Watermark)

6	Weight	0.423114
7	PDF	0.419719
8	Maximum	0.404810
9	UDP (<i>User Datagram Protocol</i>)	0.368058
10	TCP (<i>Transmission Control Protocol</i>)	0.363649
11	ARP (<i>Address Resolution Protocol</i>)	0.355394
12	LLC (<i>Logical Link Control</i>)	0.355394
13	Ipv (<i>Internet Protocol Version</i>)	0.355394
14	Tot size (<i>Total Size</i>)	0.338310
15	Magnitue	0.334563
16	AVG (<i>Average</i>)	0.331141
17	Number	0.320183
18	Radius	0.286110
19	Std (<i>Standard Deviation</i>)	0.285950
20	Covariance	0.281181
21	Min (<i>Minimum</i>)	0.264579
22	Protocol Type	0.242288
23	psh_flag_number (<i>Push Flag Count</i>)	0.222287

Protected by PDF Anti-Copy Free

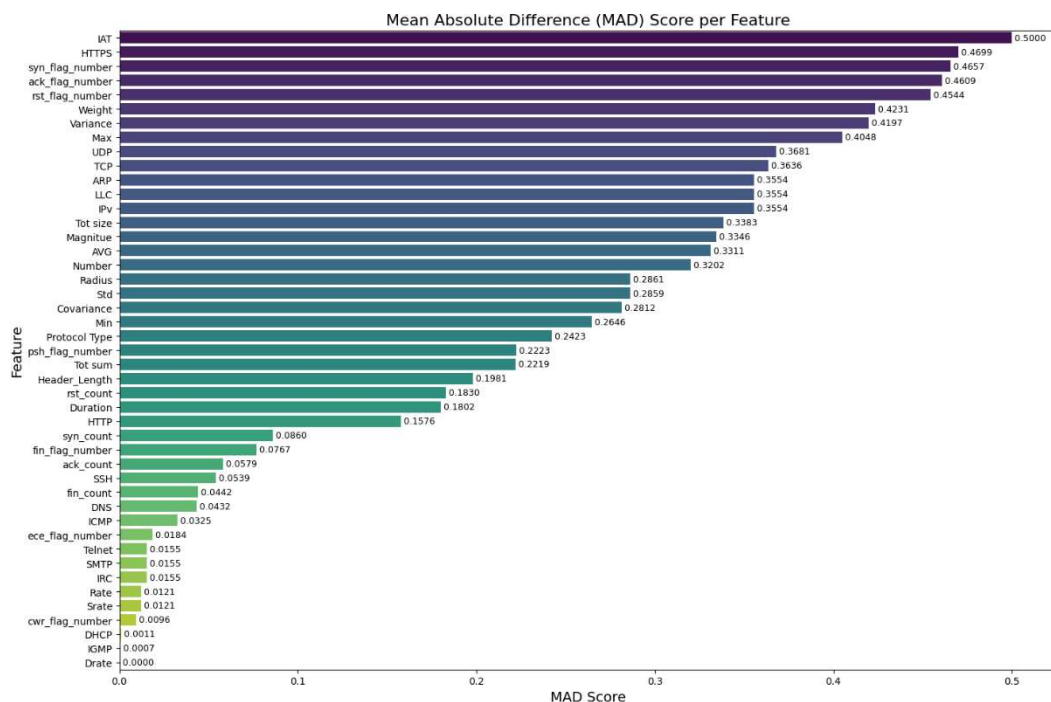
(Upgrade to Pro Version to Remove the Watermark)

24	Tot sum (<i>Total Sum</i>)	0.221880
25	H ngth	0.198064
26	rst_count (<i>Reset Packet Count</i>)	0.182966
27	Duration	0.180176
28	HTTP (<i>HyperText Transfer Protocol</i>)	0.157550
29	syn_count (<i>Synchronization Packet Count</i>)	0.085958
30	fin_flag_number (<i>Finish Flag Count</i>)	0.076665
31	ack_count (<i>Acknowledgment Packet Count</i>)	0.057852
32	SSH (<i>Secure Shell</i>)	0.053919
33	fin_count (<i>Finish Packet Count</i>)	0.044200
34	DNS (<i>Domain Name System</i>)	0.043220
35	ICMP (<i>Internet Control Message Protocol</i>)	0.032466
36	ece_flag_number (<i>Explicit Congestion Notification Echo Flag Count</i>)	0.018432
37	Telnet (<i>Terminal Network</i>)	0.015527
38	SMTP (<i>Simple Mail Transfer Protocol</i>)	0.015527
39	IRC (<i>Internet Relay Chat</i>)	0.015527

Protected by PDF Anti-Copy Free

(Upgrade to Pro Version to Remove the Watermark)

40	Rate	0.012144
41	Srate (Source Rate)	0.012144
42	cwr_flag (Congestion Window Reduced Flag Count)	0.009560
43	DHCP (Dynamic Host Configuration Protocol)	0.001146
44	IGMP (Internet Group Management Protocol)	0.000664
45	Drate (Destination Rate)	0.000000




Gambar 3. 7 Grafik Test data

Berdasarkan skor *Mean Absolute Difference* pada tabel 3.2 dan tabel 3.3, gambar grafik 3.6 dan gambar grafik 3.7, menunjukkan bahwa semakin besar skor *Mean Absolute Difference* yang ada pada masing masing fitur maka semakin penting fitur tersebut.

Protected by PDF Anti-Copy Free

(Upgrade to Pro Version to Remove the Watermark)

4. *Split* dataset

Selanjutnya untuk mengembangkan model *Machine Learning*, *split* dataset adalah pembagian dataset menjadi beberapa subset (data latih dan  untuk memastikan bahwa model dapat dilatih, dan diuji secara efisien. Data *test* berjumlah 1,614,182 data (18%), sedangkan data *train* berjumlah 7,160,831 data (82%). Jumlah data keseluruhan *train* dan *test* adalah 8,775,013 data.

5. *Data Train*

Setelah dataset dibagi menjadi data latih (*train*) dan data uji (*test*), langkah berikutnya adalah memanfaatkan data latih terlebih dahulu untuk melatih model *machine learning*. Data latih ini merupakan bagian dari dataset yang digunakan untuk membantu algoritma dalam mengenali pola serta hubungan di dalam data sebelum model diuji menggunakan data uji.

6. *Random Forest and Gradient Boosting*

Langkah berikutnya adalah memilih algoritma yang akan digunakan, antara *Random Forest* dan *Gradient Boosting*, untuk menentukan algoritma mana yang memberikan hasil lebih efisien dalam pemodelan.

7. *Performance measurement: Acc, Precision, F1-Score, Recall, TPR, FPR, TNR, FNR*

Selanjutnya mengukur model dengan performa matrik seperti *acc*, *precision*, *F1-Score*, *Recall*, *TPR*, *FPR*, *TNR*, *FNR*.

8. *Model Validation K-Fold Cross Validation*

Selanjutnya model diuji dengan *K-Fold Cross Validation* untuk menentukan hasil yang konsisten.


9. *Testing models using new data*

Setelah dilakukan pengujian menggunakan model *K-Fold Cross Validation*, data uji (*testing*) dipisahkan untuk menghasilkan data baru. Data uji yang diperbarui ini kemudian digunakan untuk pengujian lebih lanjut.

Protected by PDF Anti-Copy Free

(Upgrade to Pro Version to Remove the Watermark)

10. Data test

Setelah proses  selesai, langkah berikutnya adalah menggunakan data untuk mengevaluasi kinerja model *machine learning*.

11. Best IDS Model For IoMT

Setelah menyelesaikan semua tahapan di atas, kita akan memperoleh model IDS terbaik untuk *Internet of Medical Things (IoMT)*, yang berperan penting dalam menjaga keamanan data pasien serta perangkat medis.

12. End.

BAB IV

HASIL PENELITIAN DAN PEMBAHASAN

4.1 Gambaran Umum



Penelitian ini berfokus pada deteksi serangan siber pada jaringan *Internet of Medical Things* (IoMT) menggunakan pendekatan *Mean Absolute Difference* (MAD) untuk seleksi fitur dan algoritma *Random Forest* serta *Gradient Boosting* untuk klasifikasi. Dataset yang digunakan adalah CICIOMT2024, yang dirancang untuk mendukung penelitian keamanan IoMT dengan mencakup 19 jenis serangan siber, seperti *Denial-of-Service* (DoS), *Distributed Denial-of-Service* (DDoS), dan *Man-in-the-Middle* (MitM).

Pengolahan dataset dimulai dengan tahapan pra-pemrosesan, seperti pembersihan data, *encoding*, dan normalisasi. Seleksi fitur dilakukan menggunakan MAD untuk memilih fitur yang signifikan terhadap deteksi serangan. Model *machine learning* dilatih dengan algoritma *Random Forest* dan *Gradient Boosting*, diikuti evaluasi performa menggunakan metrik seperti akurasi, presisi, *F1-score*, *True Positive Rate* (TPR), *False Positive Rate* (FPR), dan lainnya. Hasil evaluasi ditampilkan dalam bentuk tabel, grafik, dan *confusion matrix* untuk memberikan gambaran performa model secara keseluruhan.

Dataset CICIOMT2024 yang digunakan dalam penelitian ini memainkan peran penting dalam mengidentifikasi pola serangan siber dan membangun model deteksi serangan yang akurat. Fokus utama penelitian ini adalah mengoptimalkan keamanan jaringan IoMT melalui pendekatan berbasis *machine learning* yang inovatif dan efektif.

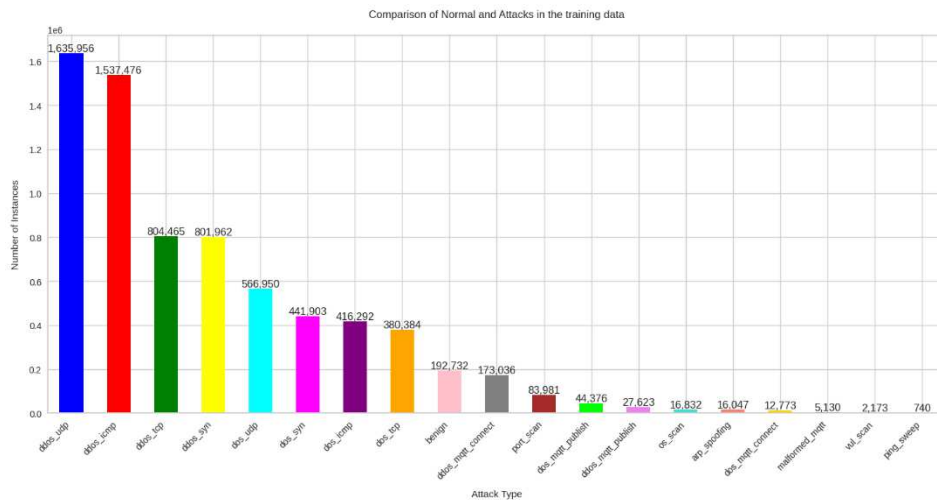
Protected by PDF Anti-Copy Free

(Upgrade to Pro Version to Remove the Watermark)

4.2 Hasil

4.2.1 Analisis Dataset

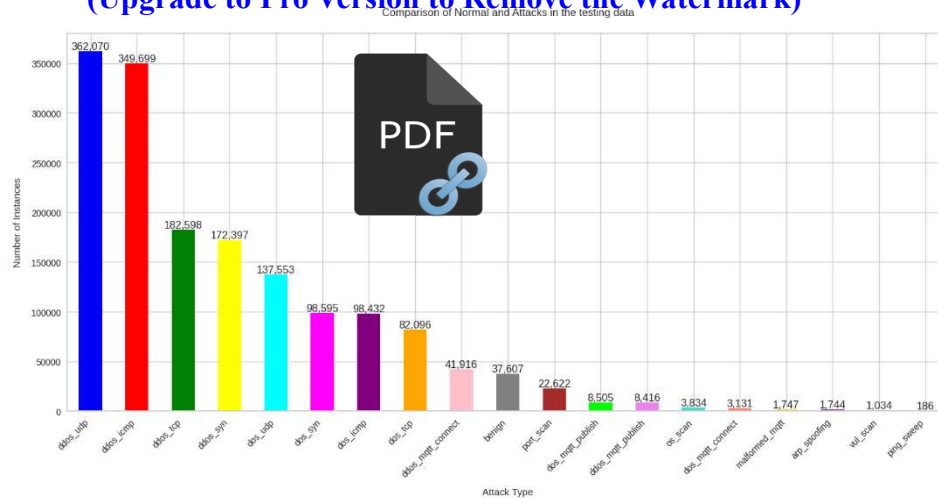
Pada penelitian ini, dataset CIIoMT2024 digunakan untuk melatih dan menguji model *Random Forest* dan *Gradient Boosting*. Dataset ini terdiri dari 8.775.013 data, yang terbagi menjadi data latih (*train*) sebesar 82% dan data uji (*test*) sebesar 18%, dengan 45 fitur. Setelah seleksi fitur menggunakan *Mean Absolute Difference (MAD)*, fitur dikurangi menjadi 10, 20, 30, dan 40 fitur terbaik berdasarkan skor MAD. Hasil evaluasi menunjukkan bahwa akurasi model tetap konsisten meskipun jumlah fitur dikurangi. Gambar 4.1 dan gambar 4.2 berikut menunjukkan distribusi kelas pada dataset *train* dan *test*.



Gambar 4. 1 Distribusi kelas data *train*

Protected by PDF Anti-Copy Free

(Upgrade to Pro Version to Remove the Watermark)



Gambar 4. 2 Distribusi kelas pada data *test*

4.2.2 Hasil Seleksi Fitur

Pada penelitian ini, penulis menerapkan *metode Mean Absolute Difference (MAD)* untuk menentukan fitur-fitur yang paling relevan dalam melatih model *machine learning*. Penelitian ini juga membandingkan kinerja model *machine learning* berdasarkan penggunaan 10, 20, 30, 40, dan tanpa pemilihan fitur dengan *score* tertinggi.

Tabel 4.1 dan Tabel 4.2 dibawah ini menunjukkan urutan fitur dengan *score* dari yang tertinggi hingga terendah yang akan digunakan sebagai fitur untuk melatih model *machine learning* dalam mendeteksi serangan di dalam dataset.

Tabel 4. 1 *Score* MAD untuk setiap fitur pada data latih

<i>Rank</i>	<i>Feature</i>	<i>Mean Absolute Difference Score</i>
1	IAT (<i>Inter-Arrival Time</i>)	0.499988
2	rst_flag_number (<i>Reset Flag Count</i>)	0.453422

Protected by PDF Anti-Copy Free

(Upgrade to Pro Version to Remove the Watermark)

3	ack_flag_number <i>(Acknowledgment Flag Count)</i>	0.453344
4	syn_number <i>(Synchronization Flag Count)</i>	0.453100
5	TCP <i>(Transmission Control Protocol)</i>	0.453013
6	UDP <i>(User Datagram Protocol)</i>	0.451794
7	HTTPS <i>(HyperText Transfer Protocol Secure)</i>	0.433977
8	Variance	0.427457
9	Weight	0.423042
10	Max <i>(Maximum)</i>	0.415186
11	Tot size <i>(Total Size)</i>	0.385237
12	AVG <i>(Average)</i>	0.381761
13	Magnitue	0.373869
14	Min <i>(Minimum)</i>	0.354019
15	Ipv <i>(Internet Protocol Version)</i>	0.326888
16	LLC <i>(Logical Link Control)</i>	0.326888
17	ARP <i>(Address Resolution Protocol)</i>	0.326888
18	Protocol Type	0.300070
19	Number	0.285763


Protected by PDF Anti-Copy Free

(Upgrade to Pro Version to Remove the Watermark)

20	Radius	0.282676
21	Std (Standard Deviation)	0.282587
22	Total Sum	0.255855
23	Covariance	0.250390
24	rst_count (<i>Reset Packet Count</i>)	0.241799
25	Header_Length	0.232087
26	Duration	0.205287
27	psh_flag_number (<i>Push Flag Count</i>)	0.193998
28	syn_count (<i>Synchronization Packet Count</i>)	0.077385
29	fin_flag_number (<i>Finish Flag Count</i>)	0.068509
30	HTTP (<i>HyperText Transfer Protocol</i>)	0.041826
31	ack_count (<i>Acknowledgment Packet Count</i>)	0.033779
32	ICMP (<i>Internet Control Message Protocol</i>)	0.029592
33	fin_count (<i>Finish Packet Count</i>)	0.024306
34	Telnet (<i>Terminal Network</i>)	0.016964
35	SMTP (<i>Simple Mail Transfer Protocol</i>)	0.016964
36	IRC (<i>Internet Relay Chat</i>)	0.015267

Protected by PDF Anti-Copy Free

(Upgrade to Pro Version to Remove the Watermark)

37	DNS (<i>Domain Name System</i>)	0.012266
38		0.012214
39	Srate (<i>Source Rate</i>)	0.012214
40	cwr_flag_number (<i>Congestion Window Reduced Flag Count</i>)	0.007576
41	ece_flag_number (<i>Explicit Congestion Notification Echo Flag Count</i>)	0.006551
42	SSH (<i>Secure Shell</i>)	0.002771
43	IGMP (<i>Internet Group Management Protocol</i>)	0.000657
44	DHCP (<i>Dynamic Host Configuration Protocol</i>)	0.000145
45	Drate (<i>Destination Rate</i>)	0.000000

Tabel 4. 2 *Score MAD* untuk setiap fitur pada data uji

<i>Rank</i>	<i>Feature</i>	<i>Mean Absolute Difference Score</i>
1	IAT (<i>Inter-Arrival Time</i>)	0.499988
2	HTTPS (<i>HyperText Transfer Protocol Secure</i>)	0.469943
3	syn_flag_number (<i>Synchronization Flag Count</i>)	0.465698
4	ack_flag_number (<i>Acknowledgment Flag Count</i>)	0.460906

Protected by PDF Anti-Copy Free

(Upgrade to Pro Version to Remove the Watermark)

5	rst_flag_number (<i>Reset Flag</i>)	0.454429
6	variance	0.423114
7	Max (<i>Maximum</i>)	0.419719
8	UDP (<i>User Datagram Protocol</i>)	0.404810
9	TCP (<i>Transmission Control Protocol</i>)	0.363649
10	ARP (<i>Address Resolution Protocol</i>)	0.355394
11	LLC (<i>Logical Link Control</i>)	0.355394
12	Ipv (<i>Internet Protocol Version</i>)	0.355394
13	Tot size (<i>Total Size</i>)	0.338310
14	Magnitue	0.334563
15	AVG (<i>Average</i>)	0.331141
16	Number	0.320183
17	Radius	0.286110
18	Std (<i>Standard Deviation</i>)	0.285950
19	Covariance	0.281181
20	Min (<i>Minimum</i>)	0.264579
21	Protocol Type	0.242288
22		


Protected by PDF Anti-Copy Free

(Upgrade to Pro Version to Remove the Watermark)

23	psh_flag_number (<i>Push Flag</i>	0.222287
24	Total Sum)	0.221880
25	Header_Length	0.198064
26	rst_count (<i>Reset Packet Count</i>)	0.182966
27	Duration	0.180176
28	HTTP (<i>HyperText Transfer Protocol</i>)	0.157550
29	syn_count (<i>Synchronization Packet Count</i>)	0.085958
30	fin_flag_number (<i>Finish Flag Count</i>)	0.076665
31	ack_count (<i>Acknowledgment Packet Count</i>)	0.057852
32	SSH (<i>Secure Shell</i>)	0.053919
33	fin_count (<i>Finish Packet Count</i>)	0.044200
34	DNS (<i>Domain Name System</i>)	0.043220
35	ICMP (<i>Internet Control Message Protocol</i>)	0.032466
36	ece_flag_number (<i>Explicit Congestion Notification Echo Flag Count</i>)	0.018432
37	Telnet (<i>Terminal Network</i>)	0.015527
38	SMTP (<i>Simple Mail Transfer Protocol</i>)	0.015527

Protected by PDF Anti-Copy Free

(Upgrade to Pro Version to Remove the Watermark)

39	IRC (<i>Internet Relay Chat</i>)	0.015527
40		0.012144
41	Srate (<i>Source Rate</i>)	0.012144
42	cwr_flag_number (<i>Congestion Window Reduced Flag Count</i>)	0.009560
43	DHCP (<i>Dynamic Host Configuration Protocol</i>)	0.001146
44	IGMP (<i>Internet Group Management Protocol</i>)	0.000664
45	Drate (<i>Destination Rate</i>)	0.000000

4.3 Pembahasan

4.3.1 Pengukuran Performa Klasifikasi

Evaluasi kinerja model *Intrusion Detection System (IDS)* dilakukan untuk menilai kemampuan model dalam mendeteksi ancaman siber pada jaringan IoMT. Berdasarkan hasil penelitian, setiap model IDS yang dibangun menggunakan algoritma yang berbeda menunjukkan tingkat akurasi terbaiknya. Tabel 4.3 dan Tabel 4.4 menyajikan perbandingan akurasi model IDS untuk algoritma *random forest* dan *gradient boosting* pada data latih dan data uji. Hasil perbandingan ini mengilustrasikan efektivitas berbagai teknik pembelajaran mesin dalam mengidentifikasi potensi ancaman pada jaringan IoMT.

Tabel 4. 3 Akurasi model ML 10 sampai Tanpa pemilihan fitur data latih

<i>Classifier</i>	<i>Accuracy</i>
<i>Random Forest 10 fitur train</i>	100 %
<i>Random Forest 20 fitur train</i>	100 %
<i>Random Forest 30 fitur train</i>	100 %
<i>Random Forest 40 fitur train</i>	100 %
<i>RF tanpa pemilihan fitur train</i>	100 %
<i>GB tanpa pemilihan fitur train</i>	99,3 %

Protected by PDF Anti-Copy Free

(Upgrade to Pro Version to Remove the Watermark)

Tabel 4. 4 Akurasi model ML 10 sampai Tanpa pemilihan fitur data uji

<i>Classifier</i>	<i>Accuracy</i>
<i>Random Forest 10 fitur</i>	100 %
<i>Random Forest 20 fitur</i>	100 %
<i>Random Forest 30 fitur</i>	100 %
<i>Random Forest 40 fitur test</i>	100 %
RF tanpa pemilihan fitur test	100 %
GB tanpa pemilihan fitur test	99,3 %

Hasil klasifikasi menunjukkan bahwa algoritma *Random Forest* mencapai akurasi hingga 100 %, sedikit lebih tinggi dibandingkan *Gradient Boosting*, yang memiliki akurasi 99,3 %. *Random Forest* menunjukkan keunggulan yang luar biasa dalam memprediksi data, berkat kemampuannya untuk menangani sejumlah besar fitur secara efektif dan ketahanannya terhadap masalah *overfitting*. Sementara itu, *Gradient Boosting* juga menunjukkan performa yang sangat baik meskipun sedikit lebih rendah, dengan kemampuan mengatasi *overfitting* melalui pendekatan bertahap dalam pembelajaran. Mengingat kedua model memiliki tingkat akurasi yang tinggi, *Random Forest* menjadi pilihan yang lebih unggul untuk solusi ini karena menghasilkan prediksi yang sedikit lebih akurat.

Tabel 4.5 sampai Tabel 4.9 menunjukkan kinerja model *machine learning* menggunakan algoritma *Random Forest* pada data latih.

Tabel 4. 5 *Random Forest* 10 fitur data latih

Class	Precision	F1-Score	TPR	FPR	TNR	FNR
arp_spoofing	0.99	0.99	0.9802	0.0000	1.0000	0.0198
benign	1.00	1.00	0.9992	0.0001	0.9999	0.0008
ddos_icmp	1.00	1.00	1.0000	0.0000	1.0000	0.0000
ddos_mqtt_connect	1.00	1.00	1.0000	0.0000	1.0000	0.0000
ddos_mqtt_publish	1.00	1.00	1.0000	0.0000	1.0000	0.0000
ddos_syn	1.00	1.00	1.0000	0.0000	1.0000	0.0000

Protected by PDF Anti-Copy Free

(Upgrade to Pro Version to Remove the Watermark)

ddos_tcp	1.00	1.00	1.0000	0.0000	1.0000	0.0000
ddos_udp	1.00	1.00	1.0000	0.0000	1.0000	0.0000
dos_icmp	1.00	1.00	1.0000	0.0000	1.0000	0.0000
dos_mqtt_connect	1.00	1.00	1.0000	0.0000	1.0000	0.0000
dos_mqtt_publish	1.00	1.00	1.0000	0.0000	1.0000	0.0000
dos_syn	1.00	1.00	1.0000	0.0000	1.0000	0.0000
dos_tcp	1.00	1.00	1.0000	0.0000	1.0000	0.0000
dos_udp	1.00	1.00	1.0000	0.0000	1.0000	0.0000
malformed_mqtt	0.98	0.98	0.9680	0.0000	1.0000	0.0320
os_scan	0.98	0.87	0.7876	0.0000	1.0000	0.2124
ping_sweep	1.00	0.99	0.9824	0.0000	1.0000	0.0176
port_scan	0.96	0.98	0.9954	0.0005	0.9995	0.0046
vul_scan	0.99	0.94	0.8951	0.0000	1.0000	0.1049

Tabel 4. 6 *Random Forest* 20 fitur data latih

Class	Precision	F1-Score	TPR	FPR	TNR	FNR
arp_spoofing	0.99	0.99	0.9874	0.0000	1.0000	0.0126
benign	1.00	1.00	0.9993	0.0001	0.9999	0.0007
ddos_icmp	1.00	1.00	1.0000	0.0000	1.0000	0.0000
ddos_mqtt_connect	1.00	1.00	1.0000	0.0000	1.0000	0.0000
ddos_mqtt_publish	1.00	1.00	1.0000	0.0000	1.0000	0.0000
ddos_syn	1.00	1.00	1.0000	0.0000	1.0000	0.0000
ddos_tcp	1.00	1.00	1.0000	0.0000	1.0000	0.0000
ddos_udp	1.00	1.00	1.0000	0.0000	1.0000	0.0000
dos_icmp	1.00	1.00	1.0000	0.0000	1.0000	0.0000
dos_mqtt_connect	1.00	1.00	1.0000	0.0000	1.0000	0.0000

Protected by PDF Anti-Copy Free

(Upgrade to Pro Version to Remove the Watermark)

dos_mqtt_publish	1.00	1.00	1.0000	0.0000	1.0000	0.0000
dos_syn	1.00	1.00	1.0000	0.0000	1.0000	0.0000
dos_tcp	1.00	1.00	1.0000	0.0000	1.0000	0.0000
dos_udp	1.00	1.00	1.0000	0.0000	1.0000	0.0000
malformed_mqtt	0.98	0.98	0.9708	0.0000	1.0000	0.0292
os_scan	0.98	0.88	0.7916	0.0000	1.0000	0.2084
ping_sweep	1.00	0.99	0.9932	0.0000	1.0000	0.0068
port_scan	0.96	0.98	0.9962	0.0005	0.9995	0.0038
vul_scan	0.99	0.94	0.8946	0.0000	1.0000	0.1054

Tabel 4. 7 *Random Forest* 30 fitur data latih

Class	Precision	F1-Score	FPR	TPR	FNR	TNR
arp_spoofing	1.00	1.00	0.0000	0.9998	0.0002	1.0000
benign	1.00	1.00	0.0000	1.0000	0.0000	1.0000
ddos_icmp	1.00	1.00	0.0000	1.0000	0.0000	1.0000
ddos_mqtt_connect	1.00	1.00	0.0000	1.0000	0.0000	1.0000
ddos_mqtt_publish	1.00	1.00	0.0000	1.0000	0.0000	1.0000
ddos_syn	1.00	1.00	0.0000	1.0000	0.0000	1.0000
ddos_tcp	1.00	1.00	0.0000	1.0000	0.0000	1.0000
ddos_udp	1.00	1.00	0.0000	1.0000	0.0000	1.0000
dos_icmp	1.00	1.00	0.0000	1.0000	0.0000	1.0000
dos_mqtt_connect	1.00	1.00	0.0000	1.0000	0.0000	1.0000
dos_mqtt_publish	1.00	1.00	0.0000	1.0000	0.0000	1.0000
dos_syn	1.00	1.00	0.0000	1.0000	0.0000	1.0000
dos_tcp	1.00	1.00	0.0000	1.0000	0.0000	1.0000
dos_udp	1.00	1.00	0.0000	1.0000	0.0000	1.0000

Protected by PDF Anti-Copy Free

(Upgrade to Pro Version to Remove the Watermark)

malformed_mqtt	1.00	1.00	0.0000	0.9990	0.0010	1.0000
os_scan	0.99	0.93	0.0000	0.8856	0.1144	1.0000
ping_sweep	1.00	1.00	0.0000	0.9959	0.0041	1.0000
port_scan	0.98	0.99	0.0003	0.9972	0.0028	0.9997
vul_scan	0.99	0.97	0.0000	0.9531	0.0469	1.0000

Tabel 4. 8 *Random Forest* 40 fitur data latih

Class	Precision	F1-Score	FPR	TPR	FNR	TNR
arp_spoofing	1.00	1.00	0.0000	1.0000	0.0000	1.0000
benign	1.00	1.00	0.0000	1.0000	0.0000	1.0000
ddos_icmp	1.00	1.00	0.0000	1.0000	0.0000	1.0000
ddos_mqtt_connect	1.00	1.00	0.0000	1.0000	0.0000	1.0000
ddos_mqtt_publish	1.00	1.00	0.0000	1.0000	0.0000	1.0000
ddos_syn	1.00	1.00	0.0000	1.0000	0.0000	1.0000
ddos_tcp	1.00	1.00	0.0000	1.0000	0.0000	1.0000
ddos_udp	1.00	1.00	0.0000	1.0000	0.0000	1.0000
dos_icmp	1.00	1.00	0.0000	1.0000	0.0000	1.0000
dos_mqtt_connect	1.00	1.00	0.0000	1.0000	0.0000	1.0000
dos_mqtt_publish	1.00	1.00	0.0000	1.0000	0.0000	1.0000
dos_syn	1.00	1.00	0.0000	1.0000	0.0000	1.0000
dos_tcp	1.00	1.00	0.0000	1.0000	0.0000	1.0000
dos_udp	1.00	1.00	0.0000	1.0000	0.0000	1.0000
malformed_mqtt	1.00	1.00	0.0000	1.0000	0.0000	1.0000
os_scan	1.00	1.00	0.0000	0.9995	0.0005	1.0000
ping_sweep	1.00	1.00	0.0000	1.0000	0.0000	1.0000
port_scan	1.00	1.00	0.0000	1.0000	0.0000	1.0000

Protected by PDF Anti-Copy Free

(Upgrade to Pro Version to Remove the Watermark)

vul_scan	1.00	1.00	0.0000	1.0000	0.0000	1.0000
-----------------	------	------	--------	--------	--------	--------

Tabel 4. 9 *Random Forest* Tanpa an fitur data latih

Class	Precision	F1-Score	FPR	TPR	FNR	TNR
arp_spoofing	1.00	1.00	0.0000	1.0000	0.0000	1.0000
benign	1.00	1.00	0.0000	1.0000	0.0000	1.0000
ddos_icmp	1.00	1.00	0.0000	1.0000	0.0000	1.0000
ddos_mqtt_connect	1.00	1.00	0.0000	1.0000	0.0000	1.0000
ddos_mqtt_publish	1.00	1.00	0.0000	1.0000	0.0000	1.0000
ddos_syn	1.00	1.00	0.0000	1.0000	0.0000	1.0000
ddos_tcp	1.00	1.00	0.0000	1.0000	0.0000	1.0000
ddos_udp	1.00	1.00	0.0000	1.0000	0.0000	1.0000
dos_icmp	1.00	1.00	0.0000	1.0000	0.0000	1.0000
dos_mqtt_connect	1.00	1.00	0.0000	1.0000	0.0000	1.0000
dos_mqtt_publish	1.00	1.00	0.0000	1.0000	0.0000	1.0000
dos_syn	1.00	1.00	0.0000	1.0000	0.0000	1.0000
dos_tcp	1.00	1.00	0.0000	1.0000	0.0000	1.0000
dos_udp	1.00	1.00	0.0000	1.0000	0.0000	1.0000
malformed_mqtt	1.00	1.00	0.0000	1.0000	0.0000	1.0000
os_scan	1.00	1.00	0.0000	0.9995	0.0005	1.0000
ping_sweep	1.00	1.00	0.0000	1.0000	0.0000	1.0000
port_scan	1.00	1.00	0.0000	1.0000	0.0000	1.0000
vul_scan	1.00	1.00	0.0000	1.0000	0.0000	1.0000

Protected by PDF Anti-Copy Free

(Upgrade to Pro Version to Remove the Watermark)

Tabel 4.10 sampai Tabel 4.14 menunjukkan kinerja model *machine learning* menggunakan algoritma *Random Forest* pada data uji.

Tabel 4. 10 *Random Forest* 10 uji

Class	Precision	F1-Score	FPR	TPR	FNR	TNR
arp_spoofing	0.58	0.61	0.0005	0.6537	0.3463	0.9995
benign	0.96	0.97	0.0009	0.9741	0.0259	0.9991
ddos_icmp	1.00	1.00	0.0002	1.0000	0.0000	0.9998
ddos_mqtt_connect	1.00	1.00	0.0000	1.0000	0.0000	1.0000
ddos_mqtt_publish	1.00	1.00	0.0000	0.9922	0.0078	1.0000
ddos_syn	1.00	1.00	0.0000	0.9989	0.0011	1.0000
ddos_tcp	1.00	1.00	0.0000	1.0000	0.0000	1.0000
ddos_udp	1.00	1.00	0.0001	0.9995	0.0005	0.9999
dos_icmp	0.97	0.99	0.0018	0.9998	0.0002	0.9982
dos_mqtt_connect	1.00	1.00	0.0000	0.9990	0.0010	1.0000
dos_mqtt_publish	1.00	1.00	0.0000	1.0000	0.0000	1.0000
dos_syn	1.00	1.00	0.0000	0.9995	0.0005	1.0000
dos_tcp	1.00	1.00	0.0000	0.9998	0.0002	1.0000
dos_udp	1.00	0.99	0.0000	0.9801	0.0199	1.0000
malformed_mqtt	0.98	0.85	0.0000	0.7584	0.2416	1.0000
os_scan	0.80	0.66	0.0003	0.5642	0.4358	0.9997
ping_sweep	0.60	0.66	0.0001	0.7366	0.2634	0.9999
port_scan	0.92	0.95	0.0012	0.9696	0.0304	0.9988
vul_scan	0.72	0.54	0.0001	0.4362	0.5638	0.9999

Protected by PDF Anti-Copy Free

(Upgrade to Pro Version to Remove the Watermark)

Tabel 4. 11 *Random Forest* 20 fitur data uji

Class	Precisi	F1- re	FPR	TPR	FNR	TNR
arp_spoofing	0.96	0.96	0.0000	0.5069	0.4931	1.0000
benign	0.93	0.96	0.0018	0.9930	0.0070	0.9982
ddos_icmp	0.73	0.84	0.1042	1.0000	0.0000	0.8958
ddos_mqtt_connect	1.00	1.00	0.0000	0.9996	0.0004	1.0000
ddos_mqtt_publish	1.00	0.83	0.0000	0.7043	0.2957	1.0000
ddos_syn	1.00	1.00	0.0000	0.9984	0.0016	1.0000
ddos_tcp	1.00	1.00	0.0000	0.9992	0.0008	1.0000
ddos_udp	1.00	0.78	0.0002	0.6369	0.3631	0.9998
dos_icmp	0.41	0.58	0.0924	0.9997	0.0003	0.9076
dos_mqtt_connect	1.00	1.00	0.0000	0.9978	0.0022	1.0000
dos_mqtt_publish	1.00	0.84	0.0000	0.7267	0.2733	1.0000
dos_syn	1.00	1.00	0.0000	0.9995	0.0005	1.0000
dos_tcp	1.00	0.99	0.0000	0.9888	0.0112	1.0000
dos_udp	1.00	0.05	0.0000	0.0246	0.9754	1.0000
malformed_mqtt	1.00	0.76	0.0000	0.6176	0.3824	1.0000
os_scan	0.74	0.64	0.0005	0.5574	0.4426	0.9995
ping_sweep	0.60	0.61	0.0000	0.6290	0.3710	1.0000
port_scan	0.93	0.94	0.0010	0.9499	0.0501	0.9990
vul_scan	0.94	0.35	0.0000	0.2137	0.7863	1.0000

Protected by PDF Anti-Copy Free

(Upgrade to Pro Version to Remove the Watermark)

Tabel 4. 12 *Random Forest* 30 fitur data uji

Class	Precision	F1-score	FPR	TPR	FNR	TNR
arp_spoofing	0.46	0.49	0.0010	0.8114	0.1886	0.9990
benign	0.97	0.96	0.0008	0.9596	0.0404	0.9992
ddos_icmp	1.00	1.00	0.0001	0.9998	0.0002	0.9999
ddos_mqtt_connect	1.00	1.00	0.0000	1.0000	0.0000	1.0000
ddos_mqtt_publish	1.00	0.99	0.0000	0.9761	0.0239	1.0000
ddos_syn	1.00	1.00	0.0000	0.9984	0.0016	1.0000
ddos_tcp	1.00	1.00	0.0000	1.0000	0.0000	1.0000
ddos_udp	1.00	1.00	0.0003	0.9996	0.0004	0.9997
dos_icmp	1.00	1.00	0.0000	0.9996	0.0004	1.0000
dos_mqtt_connect	1.00	1.00	0.0000	0.9990	0.0010	1.0000
dos_mqtt_publish	0.98	0.99	0.0001	1.0000	0.0000	0.9999
dos_syn	1.00	1.00	0.0000	0.9999	0.0001	1.0000
dos_tcp	1.00	1.00	0.0000	0.9999	0.0001	1.0000
dos_udp	1.00	1.00	0.0000	0.9994	0.0006	1.0000
malformed_mqtt	1.00	0.88	0.0000	0.7934	0.2066	1.0000
os_scan	0.75	0.64	0.0005	0.5670	0.4330	0.9995
ping_sweep	0.88	0.81	0.0000	0.7419	0.2581	1.0000
port_scan	0.93	0.95	0.0010	0.9696	0.0304	0.9990
vul_scan	0.79	0.43	0.0000	0.2921	0.7079	1.0000

Protected by PDF Anti-Copy Free

(Upgrade to Pro Version to Remove the Watermark)

Tabel 4. 13 *Random Forest* 40 fitur data uji

Class	Precisi	F1- re	FPR	TPR	FNR	TNR
arp_spoofing	0.78	0.71	0.0003	0.4987	0.5013	0.9997
benign	0.97	0.96	0.0009	0.9608	0.0392	0.9991
ddos_icmp	1.00	1.00	0.0000	0.9995	0.0005	1.0000
ddos_mqtt_connect	1.00	1.00	0.0000	0.9980	0.0020	1.0000
ddos_mqtt_publish	0.98	0.99	0.0001	0.9935	0.0065	0.9999
ddos_syn	0.99	1.00	0.0008	0.9995	0.0005	0.9992
ddos_tcp	1.00	1.00	0.0000	0.9970	0.0030	1.0000
ddos_udp	1.00	1.00	0.0002	0.9980	0.0020	0.9998
dos_icmp	1.00	1.00	0.0002	0.9984	0.0016	0.9998
dos_mqtt_connect	1.00	0.99	0.0000	0.9888	0.0112	1.0000
dos_mqtt_publish	1.00	1.00	0.0000	0.9974	0.0026	1.0000
dos_syn	1.00	1.00	0.0001	0.9929	0.0071	0.9999
dos_tcp	1.00	1.00	0.0000	0.9988	0.0012	1.0000
dos_udp	0.99	1.00	0.0005	0.9973	0.0027	0.9995
malformed_mqtt	0.32	0.47	0.0014	0.9261	0.0739	0.9986
os_scan	0.68	0.68	0.0008	0.6760	0.3240	0.9992
ping_sweep	0.62	0.69	0.0000	0.7676	0.2324	1.0000
port_scan	0.93	0.92	0.0008	0.9020	0.0980	0.9992
vul_scan	0.35	0.38	0.0002	0.4234	0.5766	0.9998

Protected by PDF Anti-Copy Free

(Upgrade to Pro Version to Remove the Watermark)

Tabel 4. 14 *Random Forest* Tanpa pemilihan fitur data uji

Class	Precisi	F1- re	FPR	TPR	FNR	TNR
arp_spoofing	0.71	0.77	0.0004	0.4798	0.5202	0.9996
benign	0.97	0.97	0.0009	0.9645	0.0355	0.9991
ddos_icmp	1.00	1.00	0.0000	0.9996	0.0004	1.0000
ddos_mqtt_connect	1.00	1.00	0.0000	0.9976	0.0024	1.0000
ddos_mqtt_publish	0.98	0.99	0.0001	0.9927	0.0073	0.9999
ddos_syn	0.99	1.00	0.0011	0.9994	0.0006	0.9989
ddos_tcp	1.00	1.00	0.0000	0.9968	0.0032	1.0000
ddos_udp	1.00	1.00	0.0002	0.9991	0.0009	0.9998
dos_icmp	1.00	1.00	0.0002	0.9987	0.0013	0.9998
dos_mqtt_connect	1.00	0.99	0.0000	0.9939	0.0061	1.0000
dos_mqtt_publish	1.00	1.00	0.0000	0.9979	0.0021	1.0000
dos_syn	1.00	0.99	0.0001	0.9897	0.0103	0.9999
dos_tcp	1.00	1.00	0.0001	0.9989	0.0011	0.9999
dos_udp	1.00	1.00	0.0002	0.9973	0.0027	0.9998
malformed_mqtt	0.33	0.49	0.0014	0.9302	0.0698	0.9986
os_scan	0.64	0.66	0.0009	0.6747	0.3253	0.9991
ping_sweep	0.62	0.68	0.0000	0.7595	0.2405	1.0000
port_scan	0.93	0.91	0.0008	0.8882	0.1118	0.9992
vul_scan	0.31	0.32	0.0002	0.3254	0.6746	0.9998

Protected by PDF Anti-Copy Free

(Upgrade to Pro Version to Remove the Watermark)

Tabel 4.15 dan tabel 4.16 menunjukkan kinerja model *machine learning* menggunakan algoritma *gradient boosting* pada data latih dan data uji.

Tabel 4. 15 *Gradient Boosting* dengan pemilihan fitur data latih

Class	Prec	F1	TPR	FPR	FNR	TNR
benign	0.97	0.98	0.98	0.00	0.02	0.99
arp_spoofing	0.80	0.79	0.78	0.00	0.22	0.99
ddos_mqtt_connect	1.00	1.00	1.00	0.00	0.00	1.00
ddos_mqtt_publish	1.00	1.00	1.00	0.00	0.00	1.00
dos_mqtt_connect	1.00	1.00	1.00	0.00	0.00	1.00
dos_mqtt_publish	0.99	1.00	1.00	0.00	0.00	1.00
malformed_mqtt	0.85	0.80	0.76	0.00	0.24	0.99
os_scan	0.87	0.68	0.55	0.00	0.45	0.99
ping_sweep	0.68	0.47	0.35	0.00	0.65	0.99
port_scan	0.91	0.94	0.94	0.00	0.04	0.99
vul_scan	0.67	0.56	0.48	0.00	0.52	0.99
ddos_icmp	1.00	1.00	1.00	0.00	0.00	1.00
ddos_syn	1.00	1.00	1.00	0.00	0.00	1.00
ddos_tcp	1.00	1.00	1.00	0.00	0.00	1.00
ddos_udp	1.00	1.00	1.00	0.00	0.00	1.00
dos_icmp	1.00	1.00	1.00	0.00	0.00	1.00
dos_syn	1.00	1.00	1.00	0.00	0.00	1.00
dos_tcp	1.00	1.00	1.00	0.00	0.00	1.00
dos_udp	1.00	1.00	1.00	0.00	0.00	1.00

Tabel 4. 16 *Gradient Boosting* Tanpa pemilihan fitur data uji

Class	Prec	F1	TPR	FPR	FNR	TNR
benign	0.96	0.96	0.97	0.00	0.03	0.99
arp_spoofing	0.46	0.56	0.72	0.00	0.28	0.99
ddos_mqtt_connect	1.00	1.00	1.00	0.00	0.00	1.00
ddos_mqtt_publish	1.00	0.93	0.87	0.00	0.13	1.00
dos_mqtt_connect	1.00	1.00	1.00	0.00	0.00	1.00
dos_mqtt_publish	0.89	0.94	1.00	0.00	0.00	1.00
malformed_mqtt	0.92	0.82	0.74	0.00	0.26	0.99
os_scan	0.83	0.87	0.57	0.00	0.43	0.99
ping_sweep	0.43	0.45	0.43	0.00	0.57	0.99

Protected by PDF Anti-Copy Free

(Upgrade to Pro Version to Remove the Watermark)

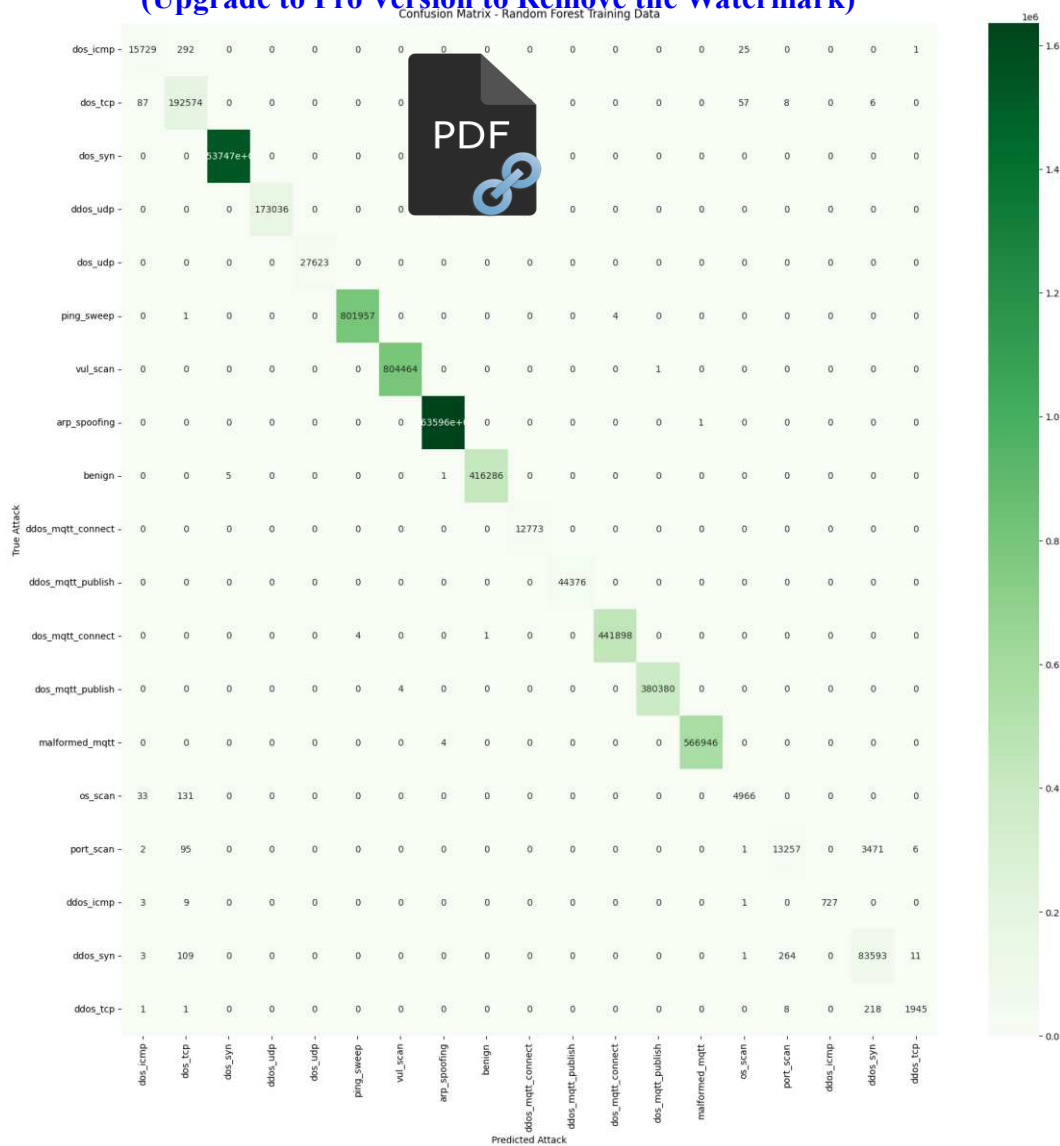
port_scan	0.92	0.95	0.97	0.00	0.03	0.99
vul_scan	0.58	0.25	0.00	0.00	0.75	0.99
ddos_icmp	0.60	0.09	0.12	0.00	0.00	0.88
ddos_syn	1.00	1.00	1.00	0.00	0.00	1.00
ddos_tcp	1.00	1.00	1.00	0.00	0.00	1.00
ddos_udp	0.99	0.29	0.17	0.00	0.83	1.00
dos_icmp	0.42	0.59	0.99	0.12	0.00	0.88
dos_syn	1.00	1.00	1.00	0.00	0.00	1.00
dos_tcp	1.00	1.00	1.00	0.00	0.00	1.00
dos_udp	1.00	0.05	0.02	0.00	0.98	1.00

Berdasarkan evaluasi kinerja model *machine learning* pada data pelatihan, algoritma *Random Forest* dan *Gradient Boosting* menunjukkan hasil yang sangat baik dengan kinerja sempurna di semua kelas. Nilai *precision*, *f1-score*, *True Positive Rate (TPR)*, *False Positive Rate (FPR)*, *False Negative Rate (FNR)*, dan *True Negative Rate (TNR)* hampir mencapai 100 %. Hasil ini mengindikasikan bahwa model mampu mendeteksi semua jenis serangan secara akurat, sehingga membuktikan efektivitas kedua algoritma dalam mengidentifikasi ancaman pada jaringan.

Kinerja setiap model yang dilatih menggunakan data latih dan data uji dalam penelitian ini divisualisasikan melalui *confusion matrix*. Gambar 4.3 menampilkan *confusion matrix* untuk algoritma *Random Forest*, yang menggambarkan kemampuan model dalam mengklasifikasikan titik data, baik yang termasuk kategori normal maupun serangan, dengan akurasi yang tinggi. Hal ini mencerminkan efektivitas algoritma *Random Forest* dalam menangani klasifikasi secara tepat.

Protected by PDF Anti-Copy Free

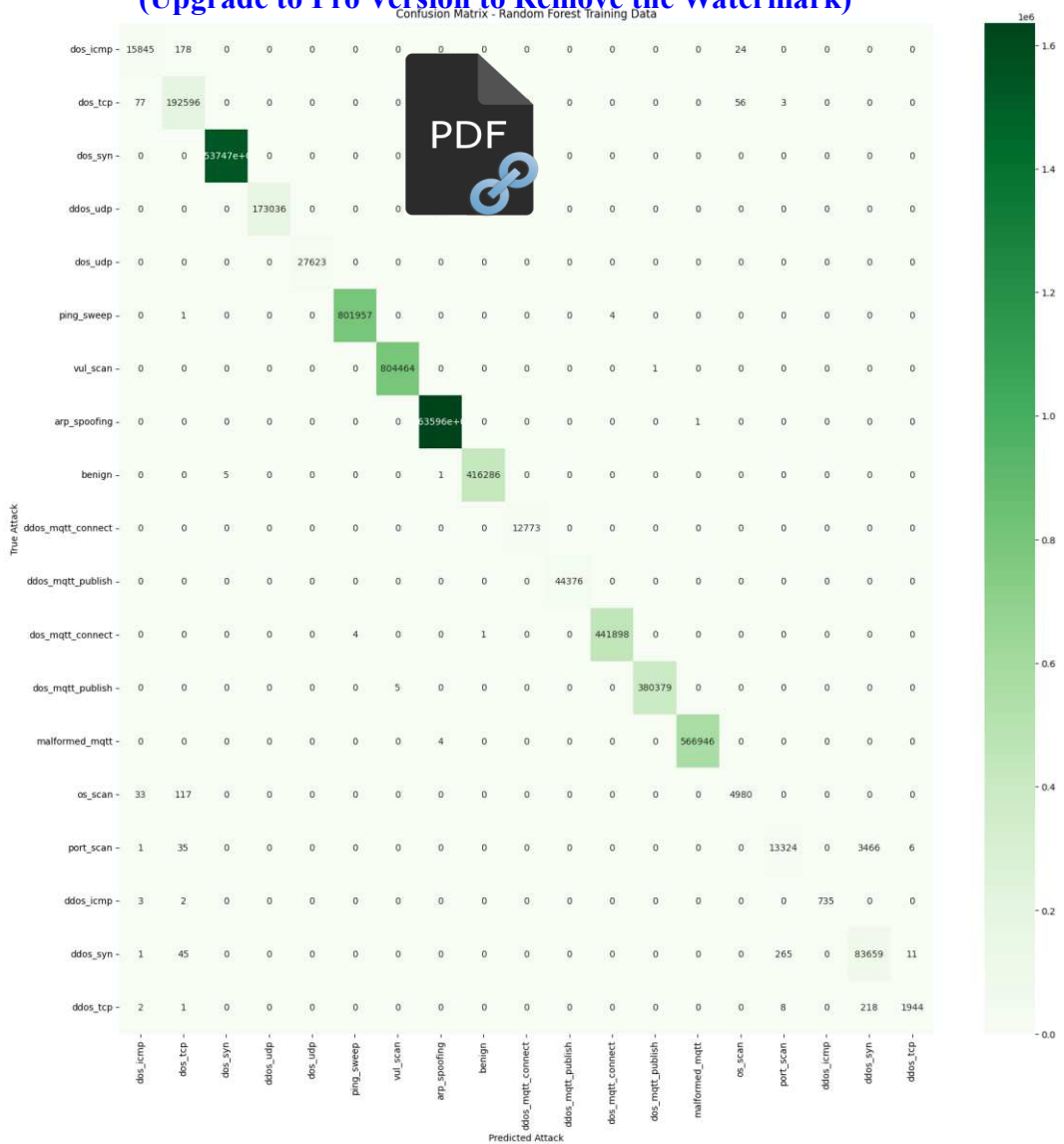
(Upgrade to Pro Version to Remove the Watermark)



Gambar 4. 3 Confusion Matrix RF 10 Fitur data latih

Protected by PDF Anti-Copy Free

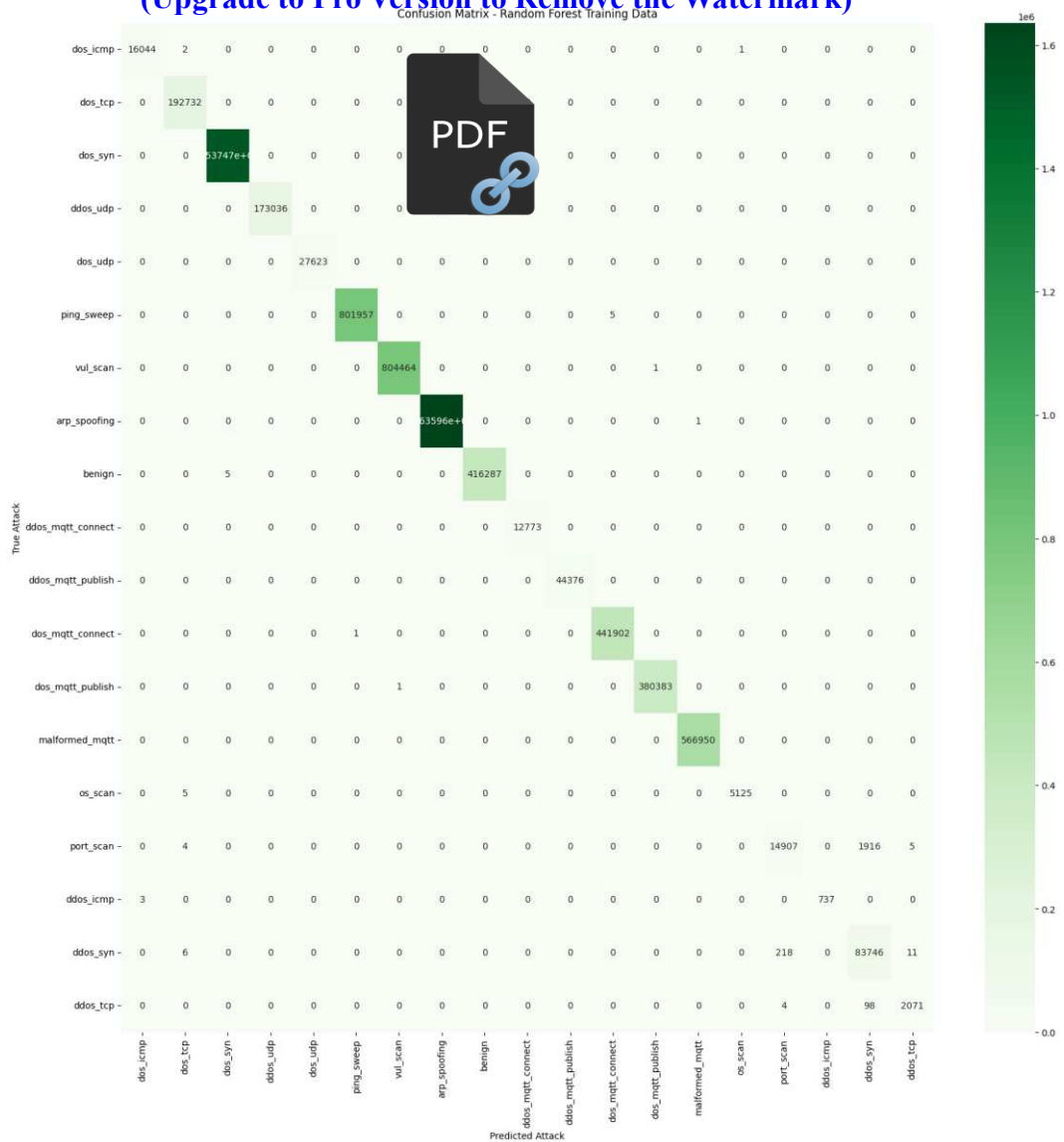
(Upgrade to Pro Version to Remove the Watermark)



Gambar 4. 4 Confusion Matrix RF 20 Fitur data latih

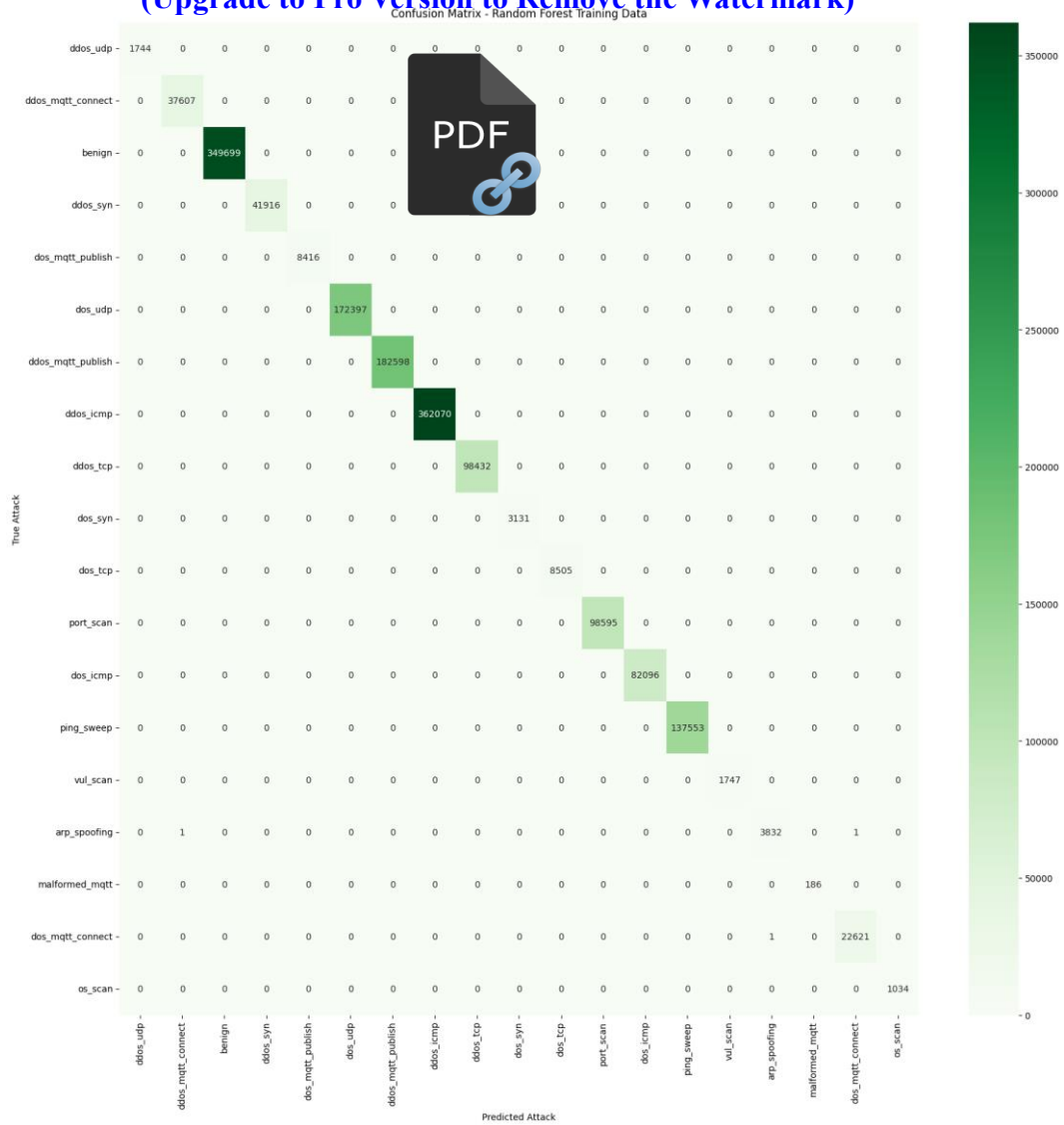
Protected by PDF Anti-Copy Free

(Upgrade to Pro Version to Remove the Watermark)



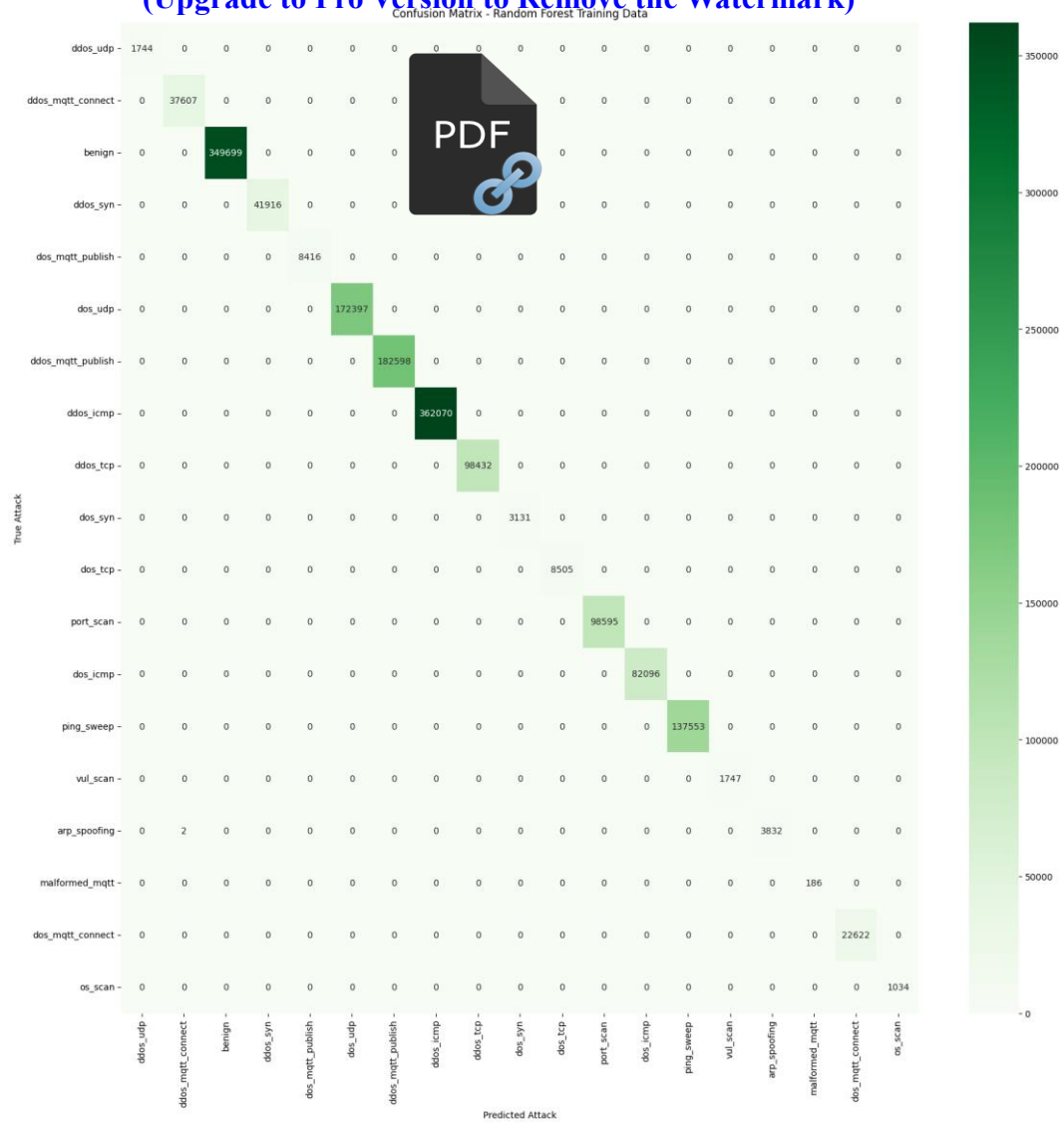
Gambar 4. 5 Confusion Matrix RF 30 Fitur data latih

Protected by PDF Anti-Copy Free
 (Upgrade to Pro Version to Remove the Watermark)



Gambar 4. 6 Confusion Matrix RF 40 Fitur data latih

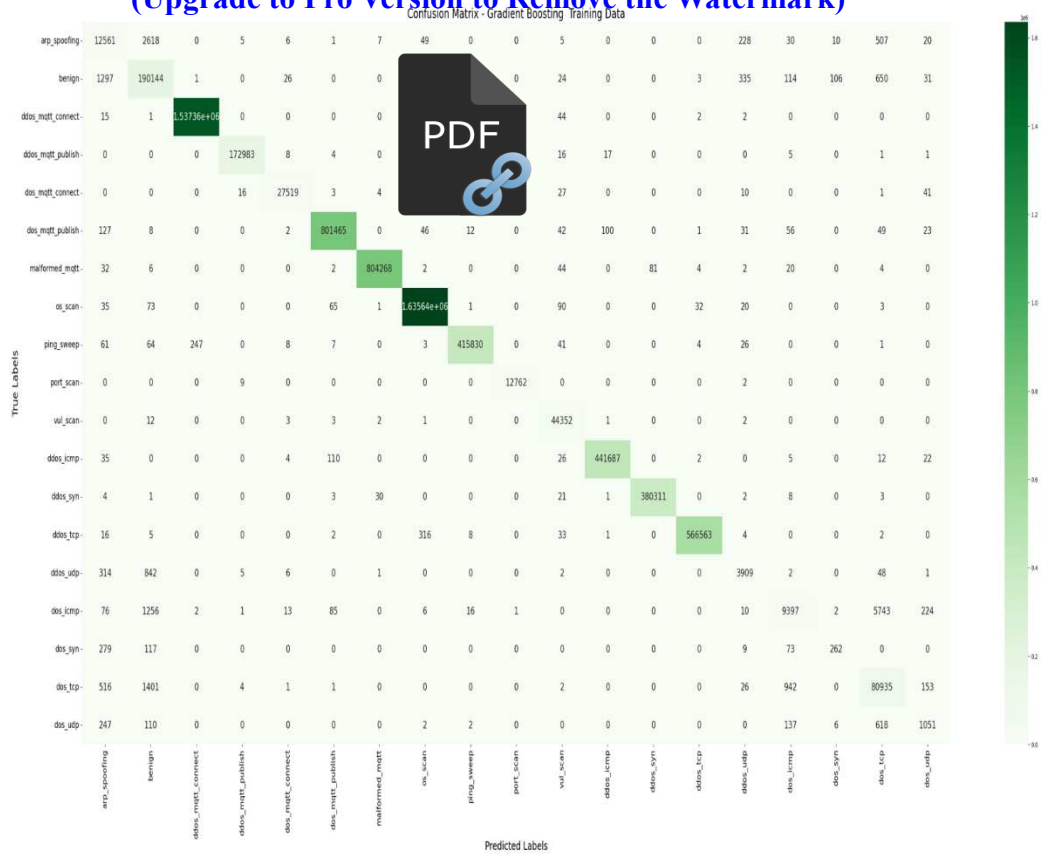
Protected by PDF Anti-Copy Free
(Upgrade to Pro Version to Remove the Watermark)



Gambar 4. 7 Confusion Matrix RF Tanpa pemilihan Fitur data latih

Protected by PDF Anti-Copy Free

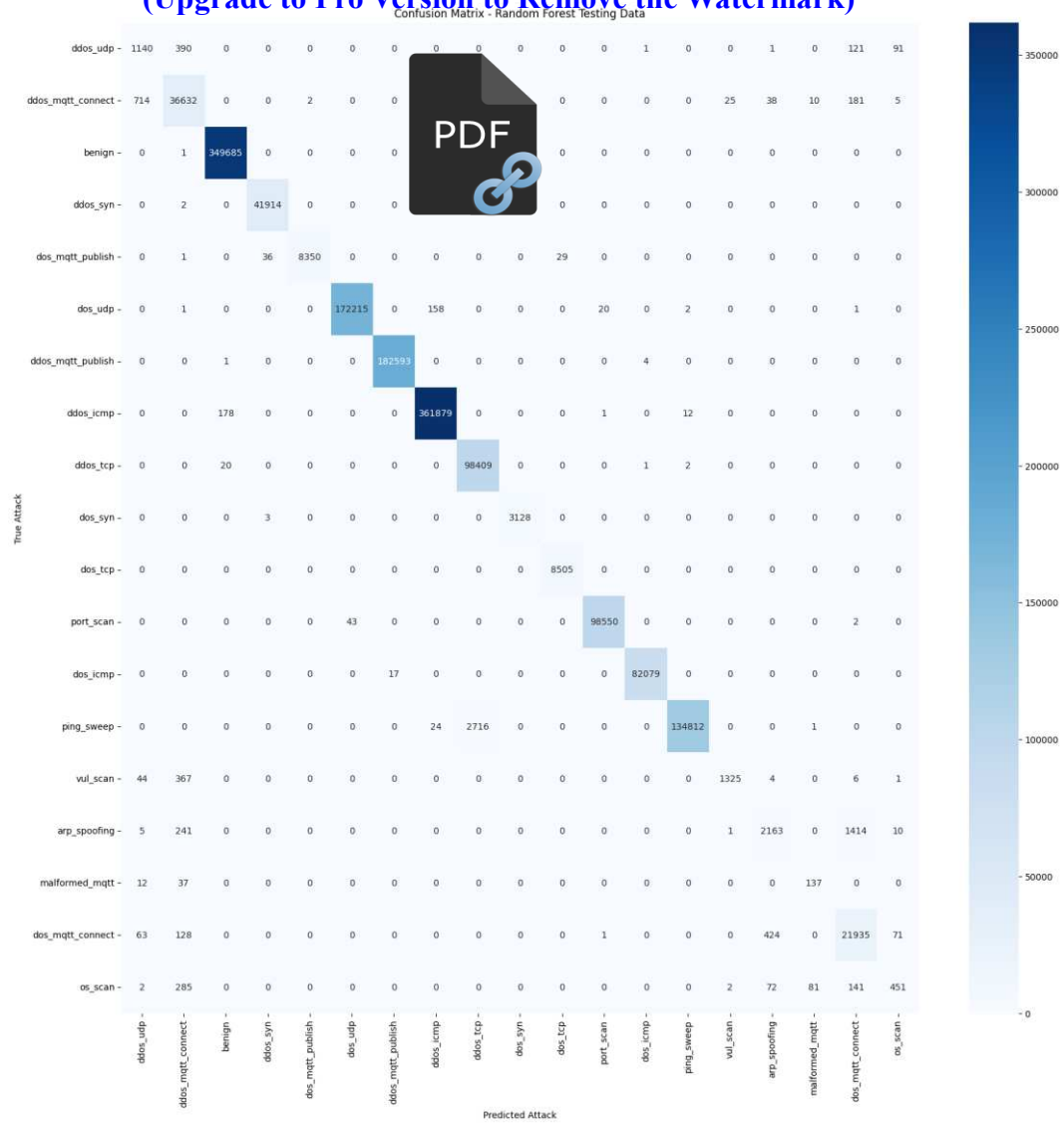
(Upgrade to Pro Version to Remove the Watermark)



Gambar 4. 8 Confusion Matrix GB Tanpa pemilihan Fitur data latih

Protected by PDF Anti-Copy Free

(Upgrade to Pro Version to Remove the Watermark)

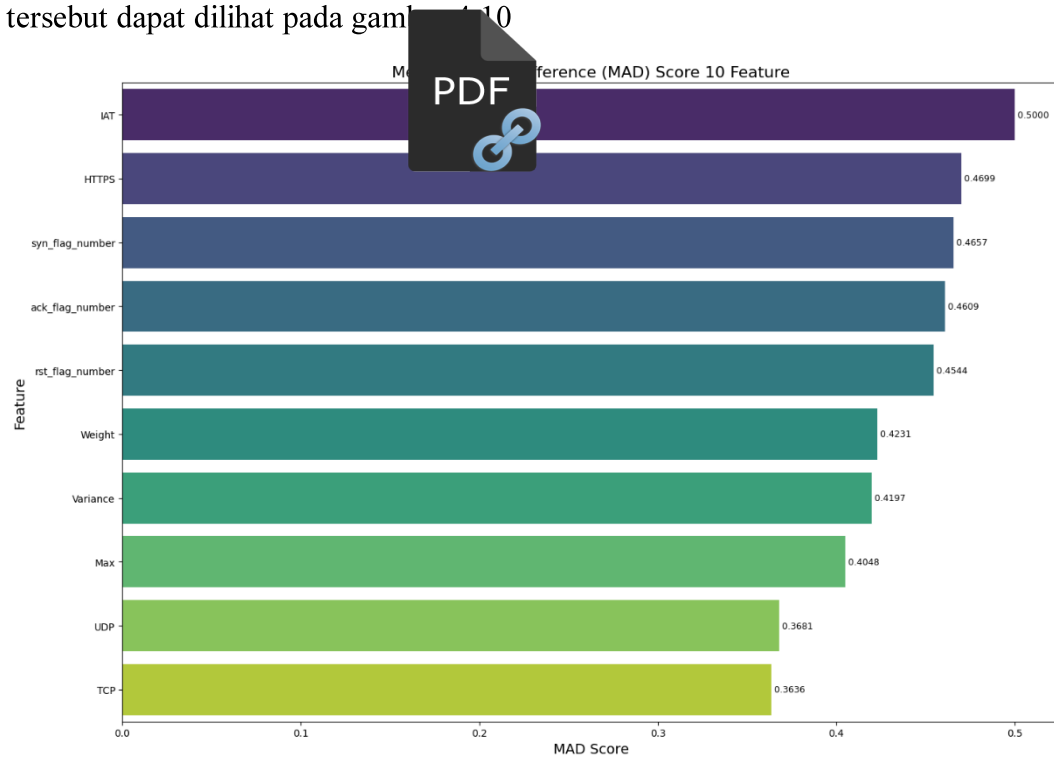


Gambar 4. 9 Confusion Matrix RF 10 Fitur data uji

Protected by PDF Anti-Copy Free

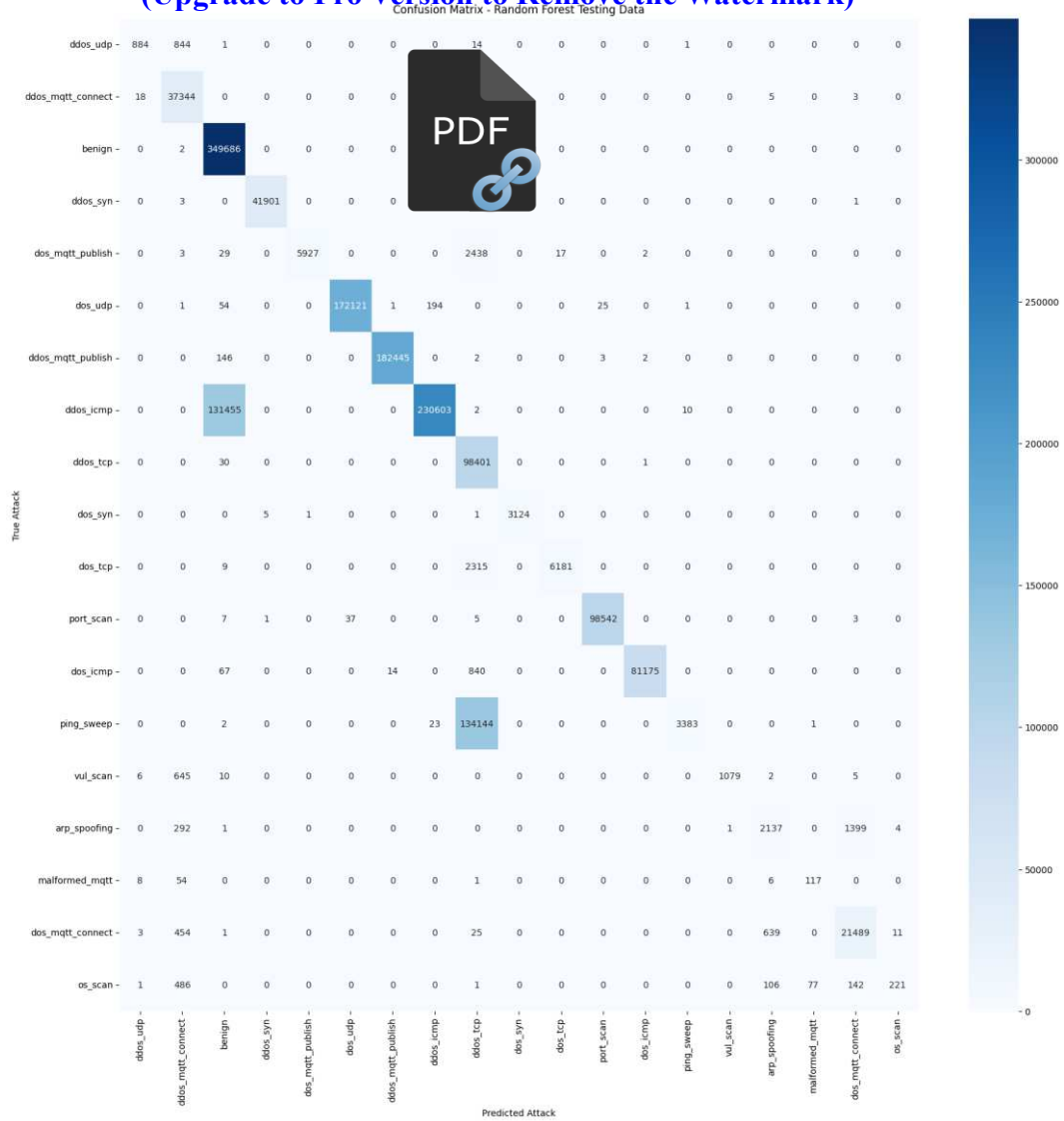
(Upgrade to Pro Version to Remove the Watermark)

10 fitur terbaik yang digunakan untuk menghasilkan model *machine learning* tersebut dapat dilihat pada gambar 4.10



Gambar 4. 10 Nilai bobot 10 fitur menggunakan MAD

Protected by PDF Anti-Copy Free
 (Upgrade to Pro Version to Remove the Watermark)

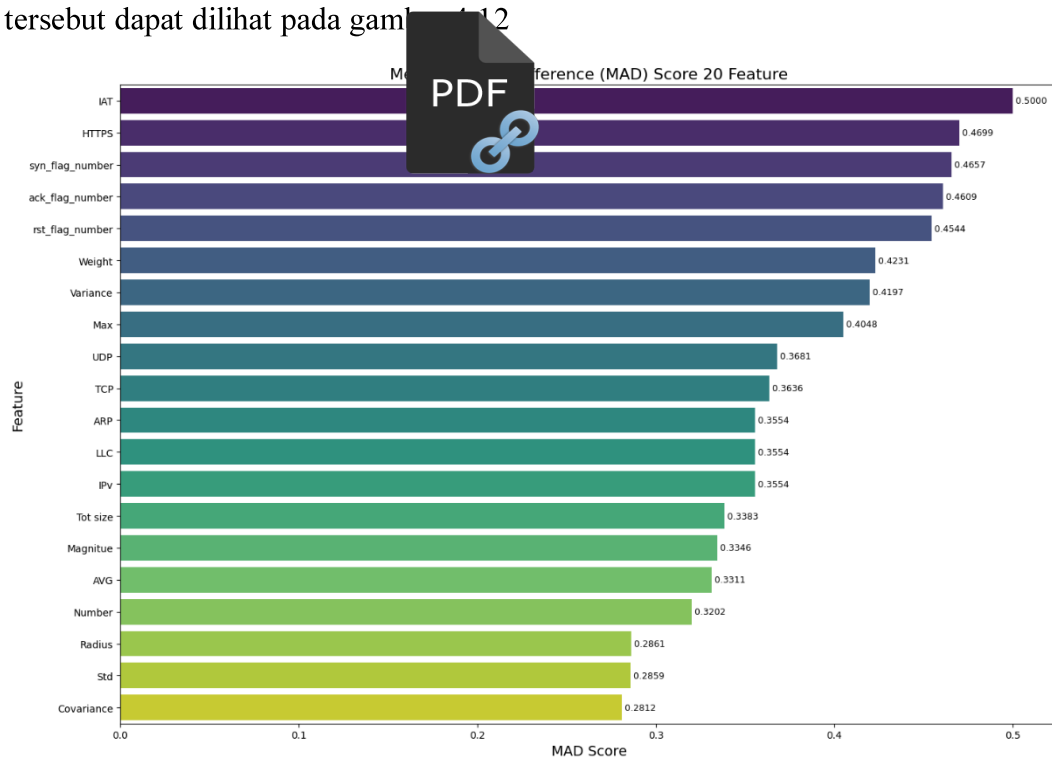


Gambar 4. 11 Confusion Matrix RF 20 Fitur data uji

Protected by PDF Anti-Copy Free

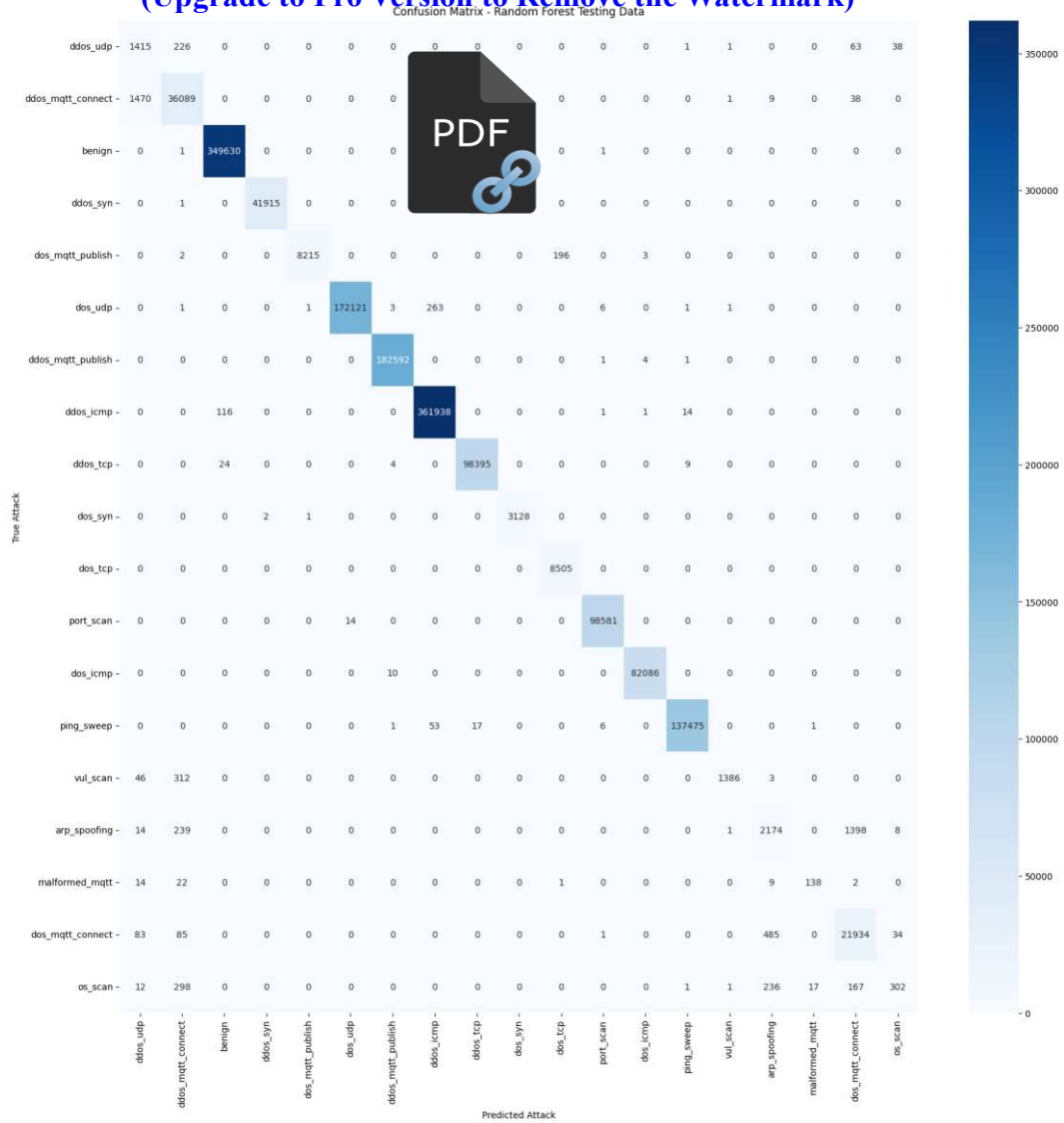
(Upgrade to Pro Version to Remove the Watermark)

20 fitur terbaik yang digunakan untuk menghasilkan model *machine learning* tersebut dapat dilihat pada gambar 4.12



Gambar 4.12 Nilai bobot 20 fitur menggunakan MAD

Protected by PDF Anti-Copy Free
 (Upgrade to Pro Version to Remove the Watermark)

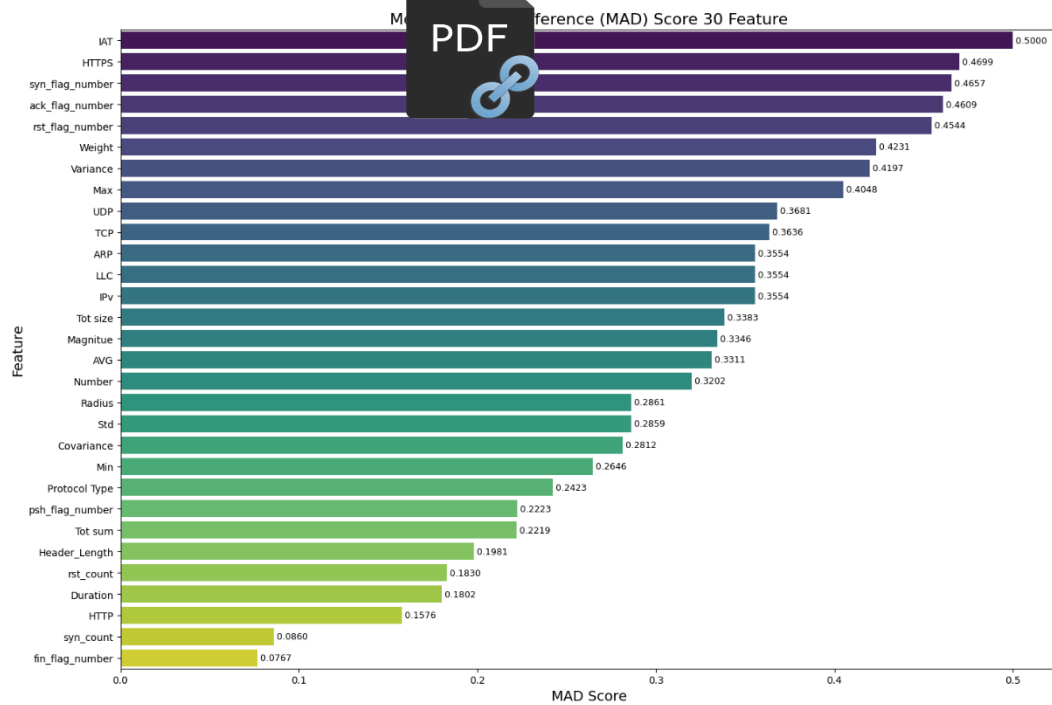


Gambar 4. 13 Confusion Matrix RF 30 Fitur data uji

Protected by PDF Anti-Copy Free

(Upgrade to Pro Version to Remove the Watermark)

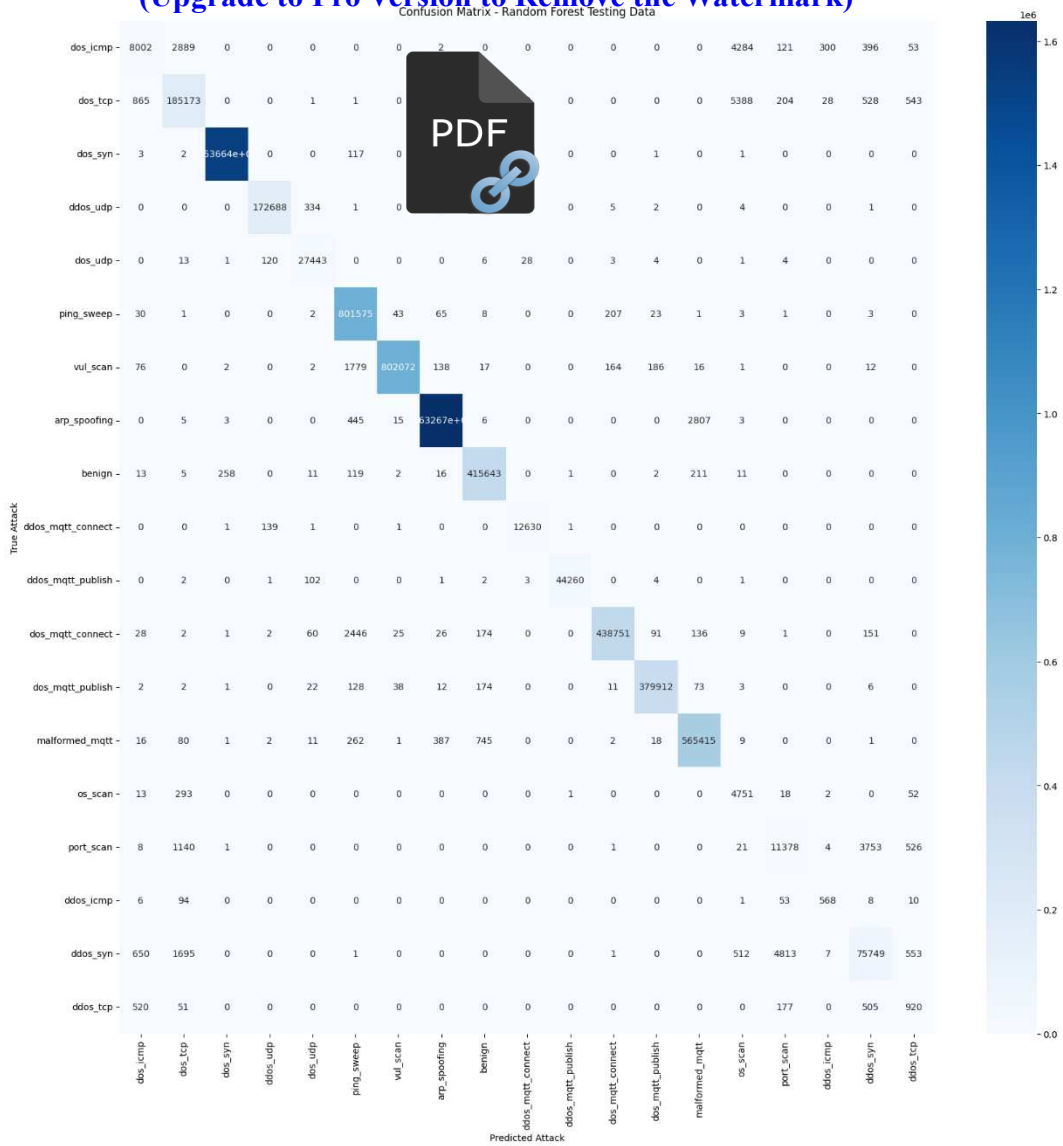
30 fitur terbaik yang digunakan untuk menghasilkan model *machine learning* tersebut dapat dilihat pada gambar 4.14



Gambar 4. 14 Nilai bobot 30 fitur menggunakan MAD

Protected by PDF Anti-Copy Free

(Upgrade to Pro Version to Remove the Watermark)

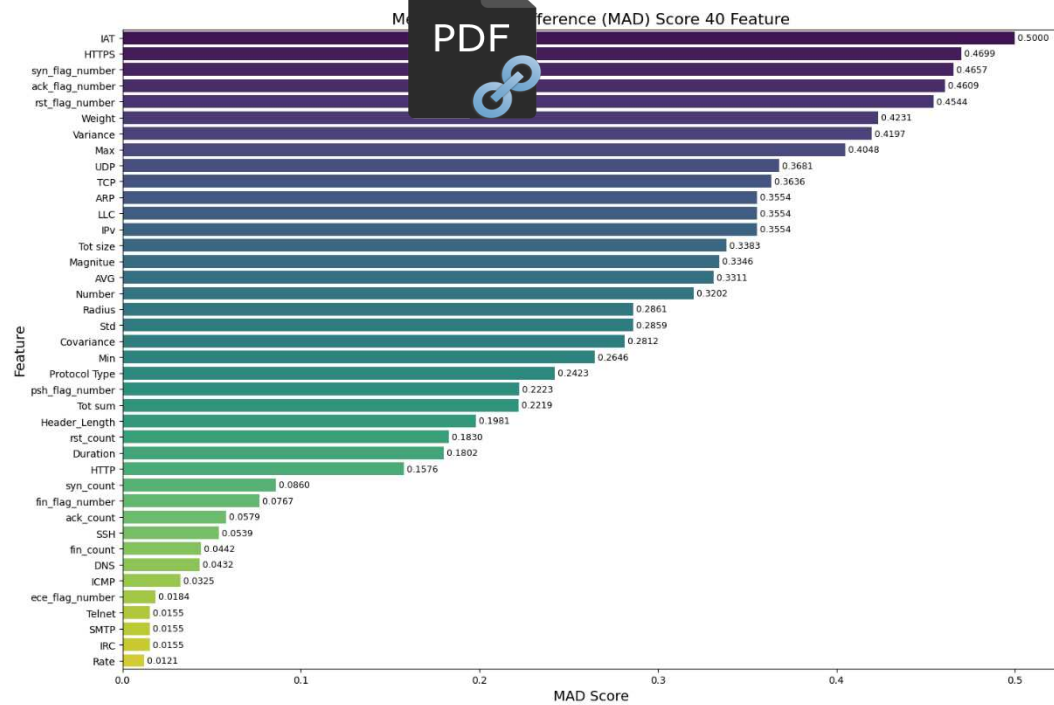


Gambar 4. 15 Confusion Matrix RF 40 Fitur data uji

Protected by PDF Anti-Copy Free

(Upgrade to Pro Version to Remove the Watermark)

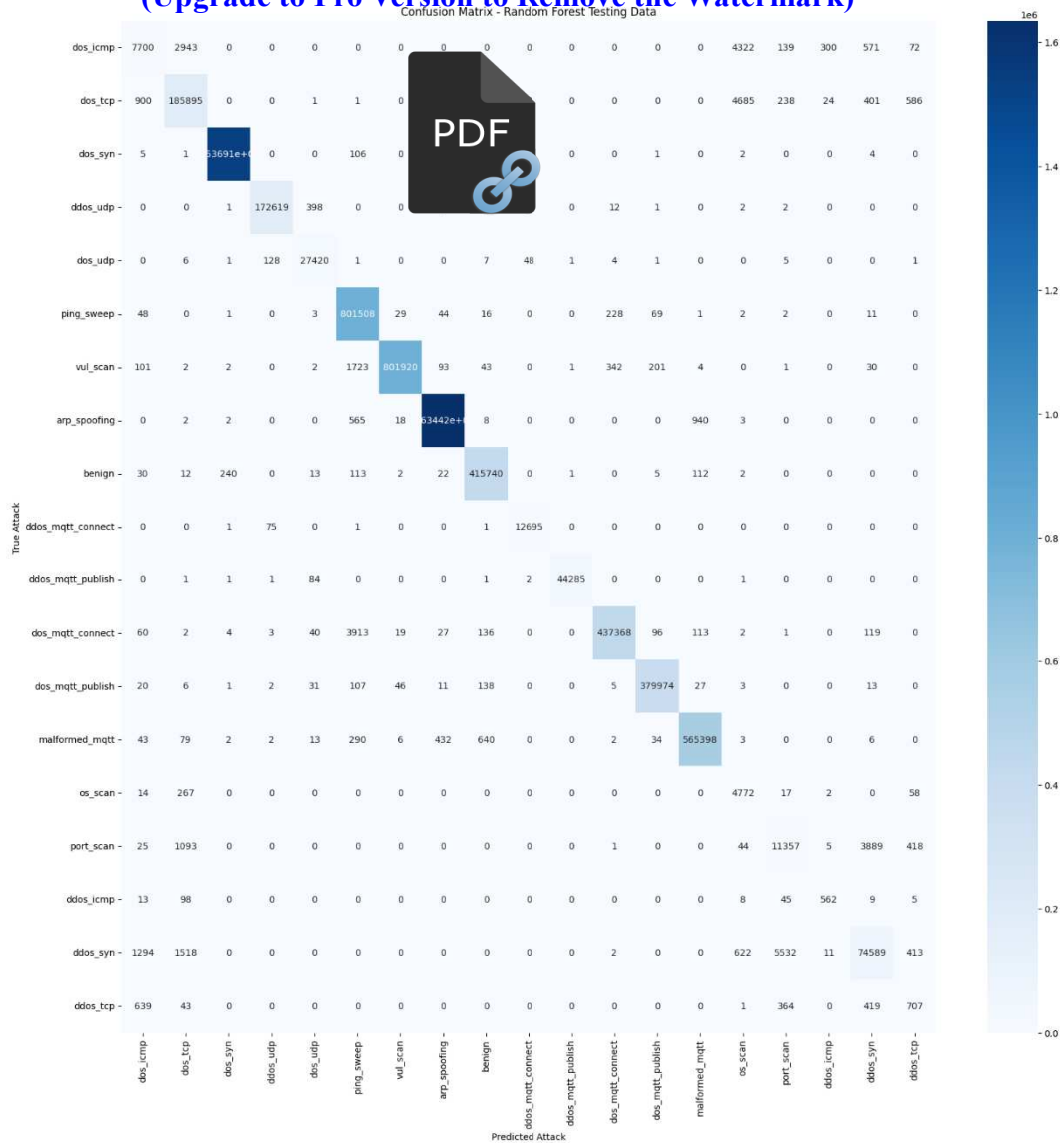
40 fitur terbaik yang digunakan untuk menghasilkan model *machine learning* tersebut dapat dilihat pada gambar 4.16



Gambar 4.16 Nilai bobot 40 fitur menggunakan MAD

Protected by PDF Anti-Copy Free

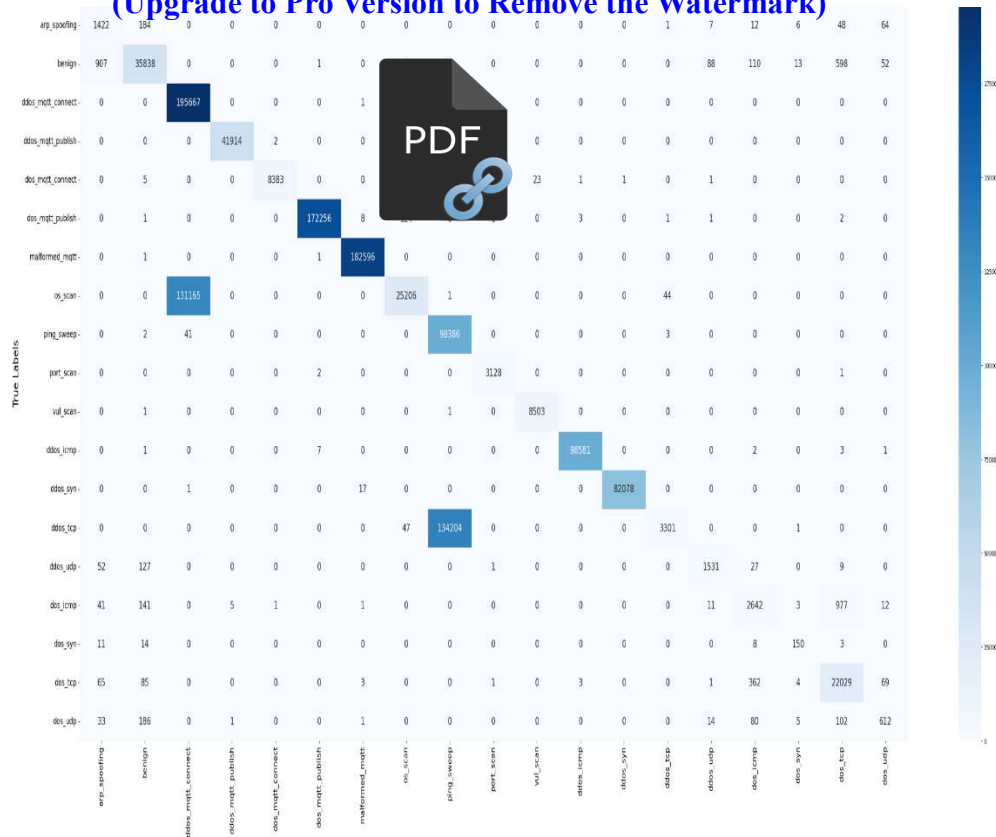
(Upgrade to Pro Version to Remove the Watermark)



Gambar 4. 17 Confusion Matrix RF Tanpa pemilihan Fitur data uji

Protected by PDF Anti-Copy Free

(Upgrade to Pro Version to Remove the Watermark)

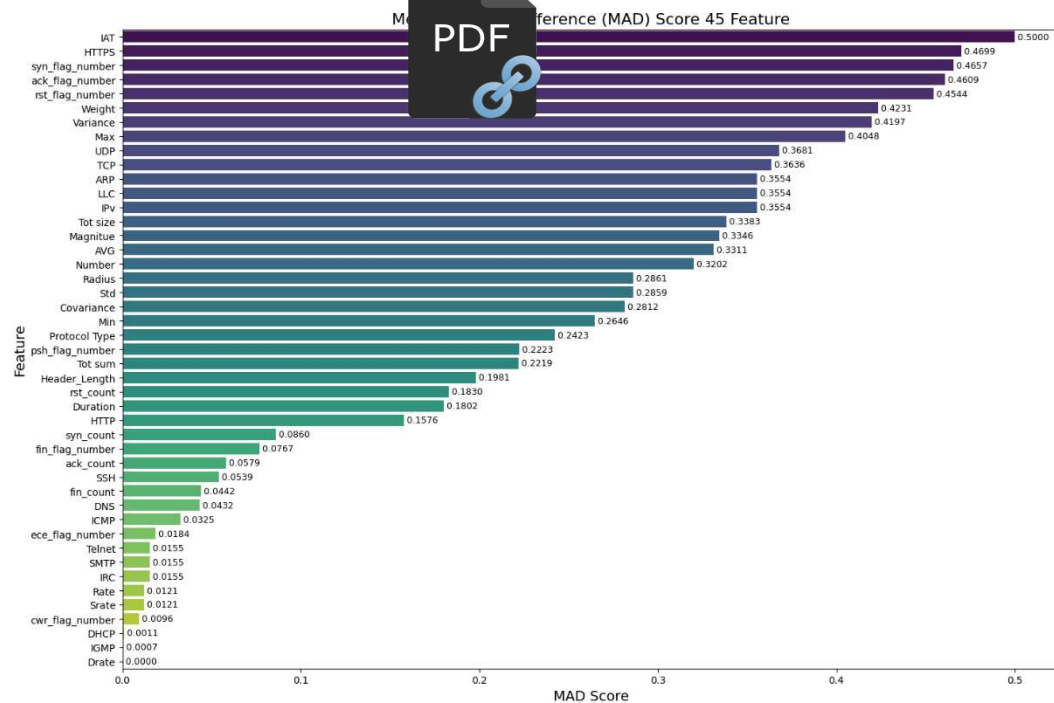


Gambar 4. 18 Confusion Matrix GB Tanpa pemilihan Fitur data uji

Protected by PDF Anti-Copy Free

(Upgrade to Pro Version to Remove the Watermark)

45 fitur terbaik yang digunakan untuk menghasilkan model *machine learning* tersebut dapat dilihat pada gambar 4.19



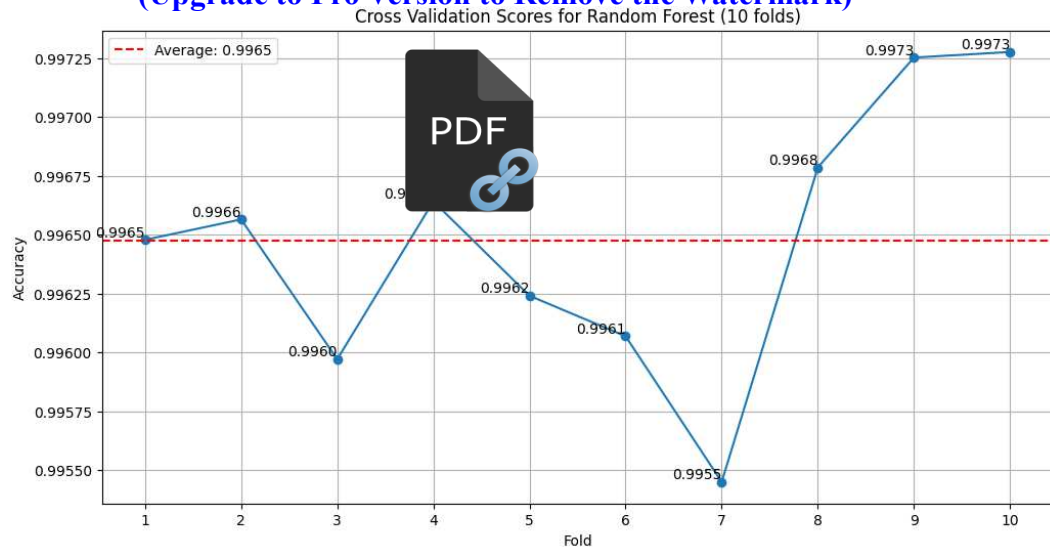
Gambar 4. 19 Nilai bobot semua fitur menggunakan MAD

Hasil evaluasi performa model *machine learning* menunjukkan bahwa algoritma *Random Forest* menghasilkan kinerja yang lebih tinggi dibandingkan dengan algoritma *Gradient Boosting*. Hal ini terlihat dari nilai akurasi *Random Forest* yang mencapai 100% ketika menggunakan tanpa pemilihan fitur. Untuk memastikan validitas model *machine learning* yang dikembangkan, penulis menerapkan teknik *10-fold cross-validation*, yang digunakan untuk memvalidasi hasil model secara menyeluruh dan mengurangi risiko bias dalam evaluasi performa.

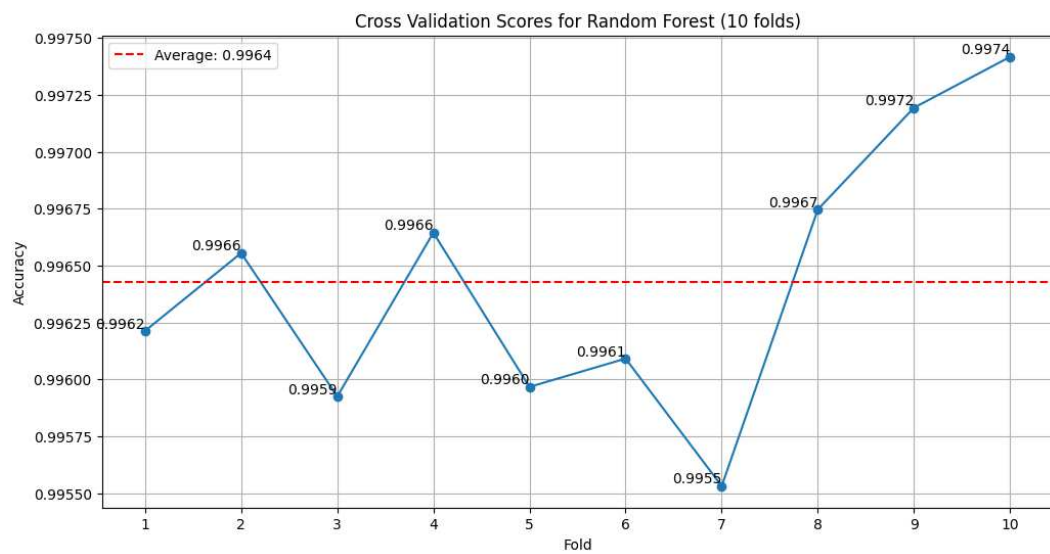
Pada gambar 4.20 sampai gambar 4.24 menunjukkan grafik hasil validasi model *machine learning* untuk algoritma *Random Forest* untuk setiap fitur yang digunakan. Pada gambar 4.25 menunjukkan grafik hasil validasi model *machine learning* untuk algoritma *Gradient Boosting* untuk setiap fitur yang digunakan.

Protected by PDF Anti-Copy Free

(Upgrade to Pro Version to Remove the Watermark)



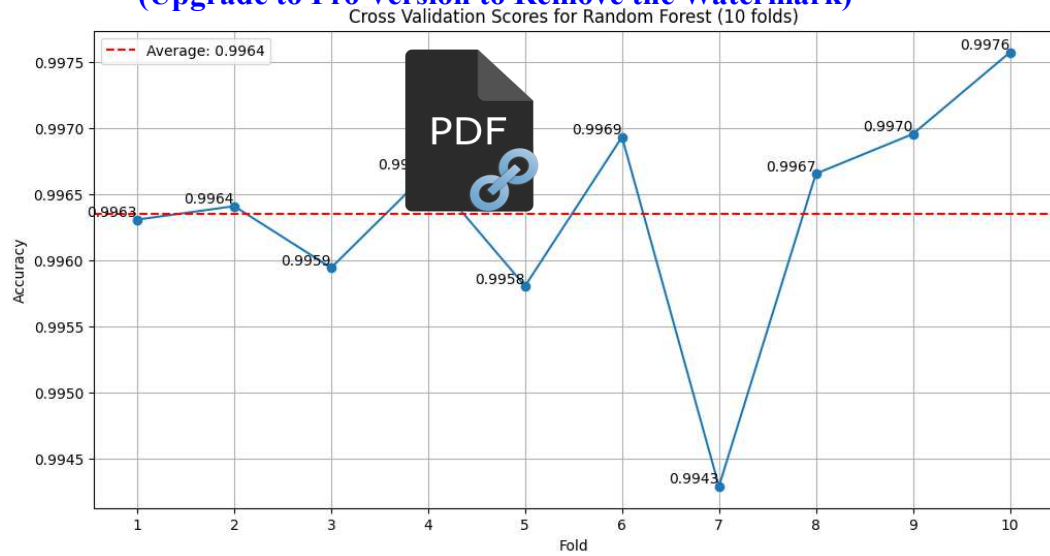
Gambar 4. 20 Hasil pengujian *cross-validation* RF 10 fitur



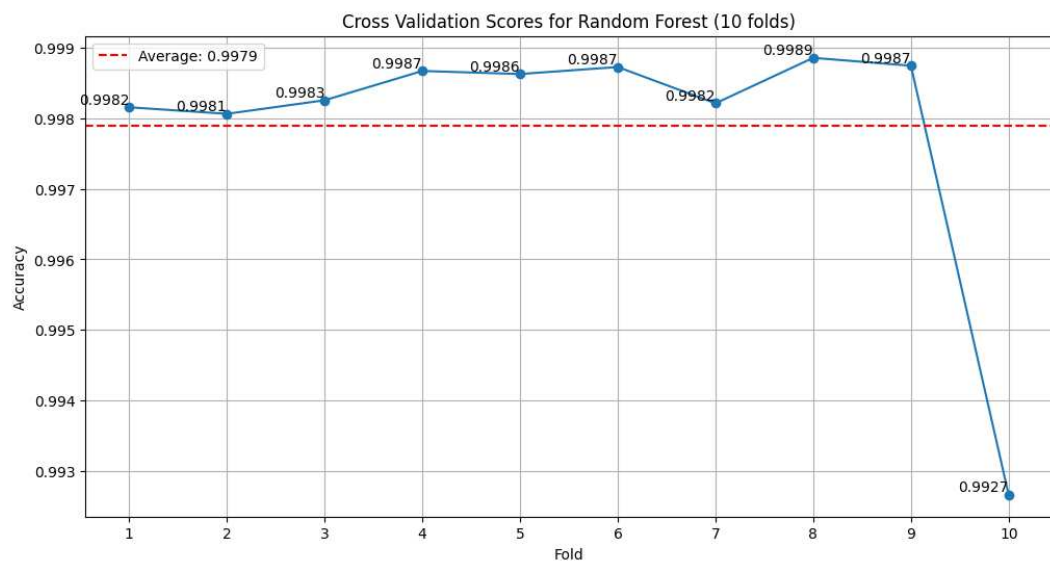
Gambar 4. 21 Hasil pengujian *cross-validation* RF 20 fitur

Protected by PDF Anti-Copy Free

(Upgrade to Pro Version to Remove the Watermark)



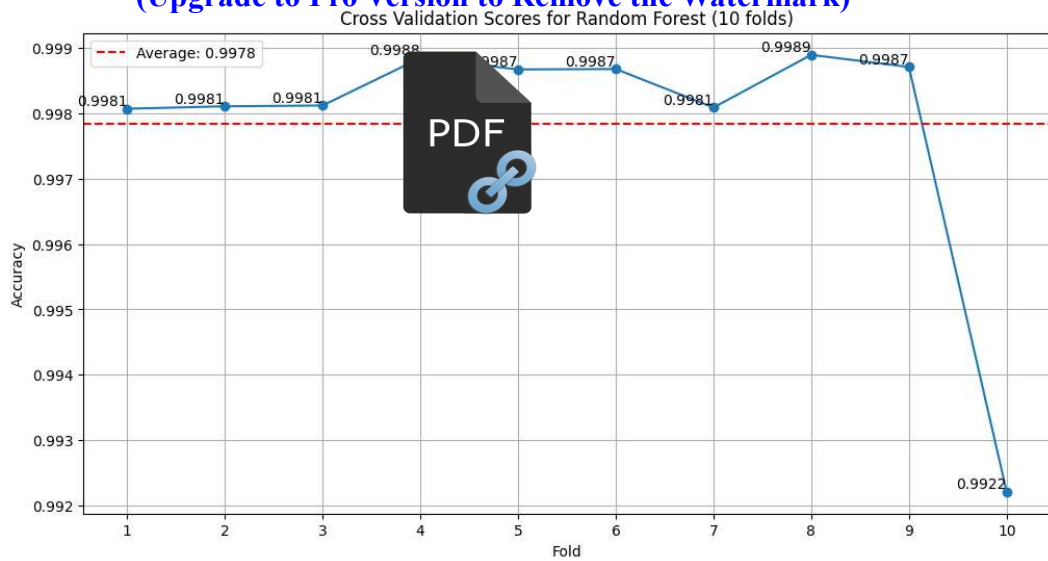
Gambar 4. 22 Hasil pengujian *cross-validation* RF 30 fitur



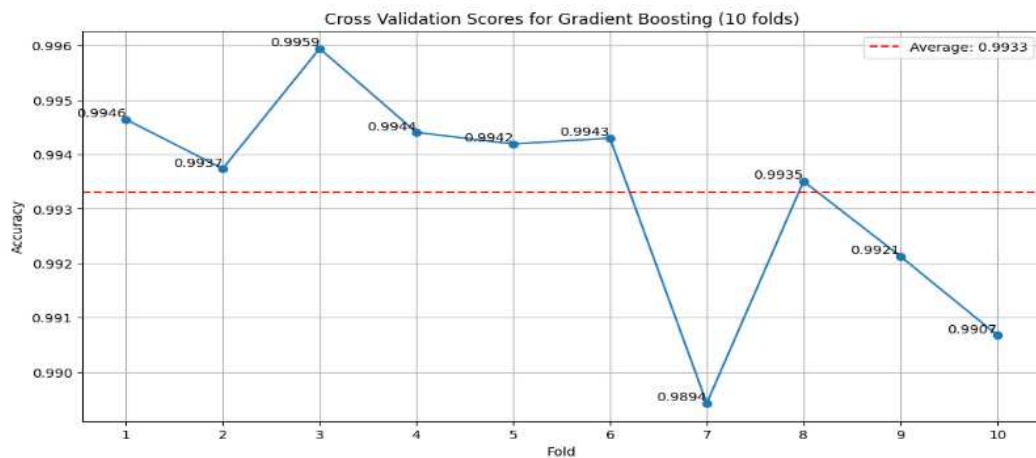
Gambar 4. 23 Hasil pengujian *cross-validation* RF 40 fitur

Protected by PDF Anti-Copy Free

(Upgrade to Pro Version to Remove the Watermark)



Gambar 4. 24 Hasil pengujian *cross-validation* RF Tanpa pemilihan fitur



Gambar 4. 25 Hasil pengujian *cross-validation* GB Tanpa pemilihan fitur

5.1 Kesimpulan

Dari hasil yang diperoleh, semua algoritma menunjukkan kinerja yang sangat baik dengan akurasi yang tinggi serta performa yang memuaskan. *Random Forest* mencatatkan akurasi yang lebih tinggi dibandingkan dengan *Gradient Boosting*. Nilai *precision*, dan *F1-score* juga menunjukkan hasil yang signifikan. Beberapa model algoritma mengalami *overfitting*, sementara yang lainnya tidak, yang dibuktikan melalui hasil *cross-validation*. Hasil *cross-validation* menunjukkan nilai yang hampir sama dengan akurasi yang diperoleh, meskipun terdapat sedikit perbedaan di beberapa model.

Dapat disimpulkan bahwa hasil penelitian ini menunjukkan bahwa penggunaan metode fitur *Mean Absolute Difference (MAD)* cukup efektif dalam meningkatkan akurasi model. Hal ini dibuktikan dengan akurasi yang sangat tinggi, mencapai 100%, terutama ketika menggunakan algoritma *Random Forest* dengan semua fitur yang dipilih.


5.2 Saran

Dalam penelitian ini, kendala utama yang dihadapi adalah keterbatasan sumber daya komputasi, di mana pelatihan model menggunakan algoritma *Gradient Boosting* sering terhenti akibat *runtime* Google Colab yang terputus, serta performa laptop yang tidak memadai untuk menangani dataset berukuran besar. Untuk penelitian selanjutnya, metode yang sama dapat diterapkan pada dataset ini dengan menggunakan algoritma lain, seperti *Logistic Regression* dan *Naive Bayes*, untuk mengeksplorasi performa mereka dalam mendeteksi serangan. Selain itu, metode alternatif seperti *correlation analysis* juga dapat digunakan untuk membandingkan hasil seleksi fitur dan efektivitas model yang dihasilkan. Pendekatan ini diharapkan dapat memberikan wawasan lebih luas mengenai optimalisasi model dan metode dalam mendeteksi ancaman siber secara lebih efisien.

Protected by PDF Anti-Copy Free

(Upgrade to Pro Version to Remove the Watermark)

DAFTAR PUSTAKA

- 
- [1] Aljumaie, G. S., Alzeer, M. S., Alghamdi, R. K., Alsuwat, H., & Alsuwat, E. (2021). Modern security in the internet of medical things (IOMT) security. *International Journal of Computer Science & Network Security*, 21(8), 254-266.
- [2] Ali, S. E., Tariq, N., Khan, F. A., Ashraf, M., Abdul, W., & Saleem, K. (2023). BFT-IOMT: A blockchain-based trust mechanism to mitigate SyBiL attack using fuzzy logic in the internet of medical things. *Sensors*, 23(9), 4265.
- [3] Ghubaish, A., Salman, T., Zolanvari, M., Unal, D., Al-Ali, A., & Jain, R. (2020). Recent advances in the internet-of-medical-things (IoMT) systems security. *IEEE Internet of Things Journal*, 8(11), 8707-8718.
- [4] Ahmed, S. F., Alam, M. S. B., Afrin, S., Rafa, S. J., Rafa, N., & Gandomi, A. H. (2024). Insights into Internet of Medical Things (IoMT): Data fusion, security issues and potential solutions. *Information Fusion*, 102, 102060.
- [5] Sun, Y., Lo, F. P. W., & Lo, B. (2019). Security and privacy for the internet of medical things enabled healthcare systems: A survey. *IEEE Access*, 7, 183339-183355.
- [6] Dadkhah, S., Neto, E. C. P., Ferreira, R., Molokwu, R. C., Sadeghi, S., & Ghorbani, A. (2024). Ciciomt2024: Attack vectors in healthcare devices-a multi-protocol dataset for assessing iomt device security.
- [7] Adnan, A., Muhammed, A., Abd Ghani, A. A., Abdullah, A., & Hakim, F. (2021). An intrusion detection system for the internet of things based on machine learning: Review and challenges. *Symmetry*, 13(6), 1011.
- [8] Guyon, I., & Elisseeff, A. (2003). An introduction to variable and feature selection. *Journal of machine learning research*, 3(Mar), 1157-1182.
- [9] Santo, W. B., Syukur, A., & Purwanto, P. (2024). Pemilihan Fitur Menggunakan Algoritma Chi-Square Dan Particle Swarm Optimization (PSO) Untuk Meningkatkan Kinerja Deep Neural Network Pada Deteksi Penyakit Diabetes. *JURNAL MEDIA INFORMATIKA BUDIDARMA*, 8(1), 488-496.
- [10] Pinsky, E., & Klawansky, S. (2023). MAD (about median) vs. quantile-based alternatives for classical standard deviation, skewness, and kurtosis. *Frontiers in Applied Mathematics and Statistics*, 9, 1206537.

Protected by PDF Anti-Copy Free

(Upgrade to Pro Version to Remove the Watermark)

- [11] Stiawan, D., Arifin, M. A. S., Idris, M. Y., & Budiarto, R. (2020, October). IoT botnet malware classification Using Weka Tool and scikit-learn machine learning. In *2020 International Conference on Electrical Engineering, Computer Science and Informatics (EECSI)* (pp. 15-20). IEEE.
- [12] Upadhyay, D., Manero, J., Zaman, M., & Sampalli, S. (2020). Gradient boosting feature selection with machine learning classifiers for intrusion detection on power grids. *IEEE Transactions on Network and Service Management*, 18(1), 1104-1116.
- [13] Saroji, Ahmad & Harmini, Triana & Taqiyuddin, Muhammad. (2021). Internet Evolution: A Historical View (SEJARAH EVOLUSI GENERASI INTERNET). *Walasuji Jurnal Sejarah dan Budaya*. 2. 65-75. 10.30598/Lanivol2iss2page65-75.
- [14] Erwin, Erwin & Datya, Aulia & Nurohim, & M.Kom, Sepriano & Waryono, Waryono & Adhicandra, Iwan & Budihartono, Eko & Purnawati, Ni. (2023). PENGANTAR & PENERAPAN INTERNET OF THINGS: Konsep Dasar & Penerapan IoT Di Berbagai Sektor.
- [15] Tariq, U., Ullah, I., Yousuf Uddin, M., & Kwon, S. J. (2022). An effective self-configurable ransomware prevention technique for IOMT. *Sensors*, 22(21), 8516.
- [16] Mukhopadhyay, M., Banerjee, S., & Mukhopadhyay, C. D. (2024). Internet of Medical Things and the Evolution of Healthcare 4.0: Exploring Recent Trends. *Journal of Electronics, Electromedical Engineering, and Medical Informatics*, 6(2), 182-195.
- [17] Rasheed, A. F., Zarkoosh, M., & Al-Azzawi, S. S. (2023, August). The impact of feature selection on malware classification using chi-square and machine learning. In *2023 9th International Conference on Computer and Communication Engineering (ICCCE)* (pp. 211-216). IEEE.
- [18] Balaraman, S. (2020). Comparison of classification models for breast cancer identification using Google Colab.
- [19] Zuhail, N. K. (2022, February). Study Comparison K-Means Clustering Dengan Algoritma Hierarchical Clustering: AHC, K-Means Clustering, Study Comparison. In *Seminar Nasional Teknologi & Sains* (Vol. 1, No. 1, pp. 200-205).
- [20] Jalil, A., Homaidi, A., & Fatah, Z. (2024). Implementasi Algoritma Support Vector Machine Untuk Klasifikasi Status Stunting Pada Balita. *G-Tech: Jurnal Teknologi Terapan*, 8(3), 2070-2079.

Protected by PDF Anti-Copy Free



(Upgrade to Pro Version to Remove the Watermark)

- [21] Rustamana, A., Wahyuningsih, P., Azka, M. F., & Wahyu, P. (2024). Penelitian metode kuantitatif. *Sindoro: Cendikia Pendidikan*, 5(6), 81-90.
- [22] Riyadani, M. E., & Subandono (2022). Sistem keamanan untuk otorisasi pada smart home menggunakan pengenalan wajah dengan library openCV. *Jurnal SISKOM (Sistem Komputer dan Kecerdasan Buatan)*, 5(2), 69-77.

Protected by PDF Anti-Copy Free

(Upgrade to Pro Version to Remove the Watermark)

DAFTAR LAMPIRAN



 UNIVERSITAS BINA INSAN
 Jalan Jenderal Besar
 Kiri Lubuk Kupang Kec. Lubuklinggau Selatan I Kota Lubuklinggau Provinsi Sumatera Selatan

Formulir Pengajuan Judul Skripsi
Program Studi Rekayasa Sistem Komputer

Nama : Meryandi Andika Putra
 NIM : 2102010030
 Alamat : Gang Sejahtera No 29, RT 01, Kelurahan Jogoboyo
 Kecamatan Lubuk Linggau Utara II
 No.Hp : 089674497676

Rumusan Masalah 1 : Bagaimana Mean Absolute Difference (MAD) dapat membantu Dalam memilih fitur yang relevan untuk mendeteksi serangan pada jaringan Internet of Medical Things (IoMT)?

Judul 1 : Mean Absolute Difference (MAD) sebagai metode pemilihan fitur untuk serangan pada jaringan Internet of Medical Things *Deteksi (Mengggunakan Algoritma Random Forest dan Gradient Boosting)*

Rumusan Masalah 2 : Bagaimana Principal Component Analysis (PCA) dapat digunakan sebagai metode pemilihan fitur yang efektif untuk mendeteksi serangan pada jaringan Internet of Medical Things (IoMT)?

Judul 2 : Principal Component Analysis (PCA) sebagai Metode Pemilihan Fitur untuk Deteksi Serangan pada Jaringan Internet of Medical Things Menggunakan Algoritma Support Vector Machine dan Naive Bayes

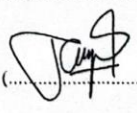
Rumusan Masalah 3 : Bagaimana metode Information Gain dapat membantu dalam memilih fitur yang paling relevan untuk mengidentifikasi serangan pada jaringan Internet of Medical Things (IoMT)?


Judul 3 : Information Gain sebagai Metode Pemilihan Fitur untuk Identifikasi Serangan pada Jaringan Internet of Medical Things dengan Algoritma K-Nearest Neighbors dan Decision Tree


Diusulkan Judul Nomor 1(satu) / 2(Dua) / 3(Tiga)*

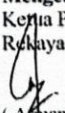
Lubuklinggau, 13 November 2024
Mahasiswa yang mengusulkan,

(Meryandi Andika Putra)

Menyetujui Dosen Pembimbing,
 Pembimbing 1 (Dr. M. Agus Syamsul Arifin, S.St., M.Kom) 

Pembimbing 2 (Bunga Intan, M.Kom) 

Mengesahkan,
 Dekan Fakultas Ilmu Teknik 
 (Dr. Rudi Kurniawan, ST., M.Kom)

Mengetahui,
 Ketua Program Studi
 Rekayasa Sistem Komputer 
 (Arnanto, M.Kom)

0733-4553932 (Rektorat Universitas Bina Insan)
 0733-3280300 (Pascasarjana)
 0812-1826-6228 (Marketing UNIVBI)
 0652-5151-5800 (Admin UNIVBI)
 Admin@univbinainsan.ac.id

univbinainsan.ac.id - pasca.univbinainsan.ac.id